# **Hochspannungstechnik**



#### Notwendigkeit hoher Spannungen zur Energieübertragung

1. Charakteristik der Wirkleistungsübertragung in Drehstromsystemen

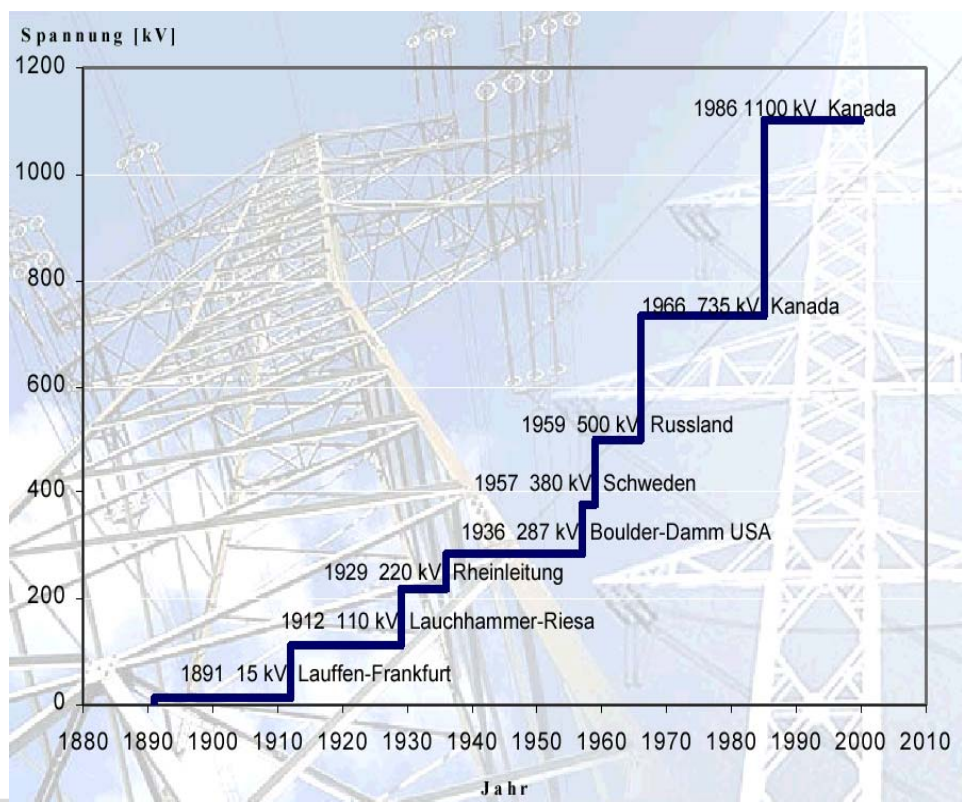
$$P = \begin{cases} \frac{U_1 \cdot U_2}{Z_0 \cdot \sin(2\pi \frac{\ell}{\lambda})} \cdot \sin(9) & \text{lange Leitung (Länge $\ell$, Wellenwiderstand $Z_0$, Wellenlänge $\lambda$)} \\ \frac{U_1 \cdot U_2}{X} \cdot \sin(9) & \text{kurze Leitung (Reaktanz $X$)} \end{cases}$$

2. Verluste bei der Energieübertragung

$$P_V = R \cdot I^2 \quad U \uparrow \Rightarrow (P = \sqrt{3} \cdot U \cdot I) \Rightarrow I \downarrow \Rightarrow P_V \downarrow$$

#### **Derzeitige Trends:**

- Übertragungsspannungen von
   ± 800 kV (DC) für HGÜ-Anlagen in China
- Übertragungsspannung von 1000 kV (AC) für Energiefernübertragung (China)



# Spannungsbeanspruchungen von Betriebsmitteln im Netzbetrieb



#### Niederfrequente Spannungen

- dauernd: Normalbetrieb

- zeitweilig: fehlerhafte

Betriebszustände

#### **Transiente Spannungen**

Werden unterschieden nach Anstiegszeit

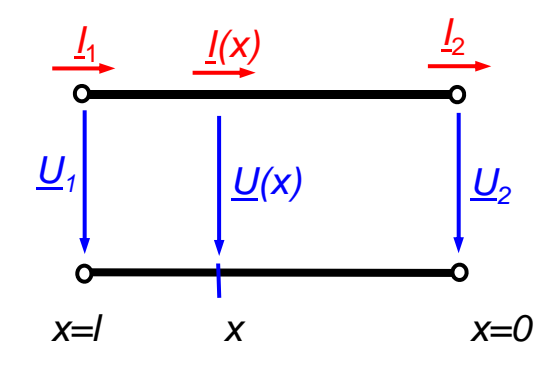
- langsam (einige 100 μs)
- schnell (einige μs)
- sehr schnell (3...100ns)

Kategorie	niederfrequent		transient			
	dauernd	zeitweilig	langsamer Anstieg	schneller Anstieg	sehr schneller Anstieg	
Spannungs- form	$\begin{array}{c} & & \\ & & \\ & & \\ & & \\ \end{array}$		Ι <sub>ρ</sub> Ι <sub>γ</sub> Ι <sub>γ</sub>	-T <sub>1</sub>	$\begin{array}{c} 1/f_1 \\ 1/f_2 \\ \hline \end{array}$	
Zeitbereich	f = 50 Hz oder f = 60 Hz	10 Hz < $f$ < 500 Hz 3600 s $\geq$ $T_t \geq 0.03$ s	5000 $\mu$ s $\geq$ $T_p > 20 \mu$ s $T_2 \leq 20 \text{ ms}$	20 $\mu$ s $\geq T_1$ > 0,1 $\mu$ s $T_2 \leq 300 \mu$ s	100 ns $\geq T_f > 3$ ns 0,3 MHz $< f_1$ < 100 MHz 30 kHz $< f_2$ < 300kHz $T_1 \leq 3$ ms	
Ursachen (s. Text)		Erdfehler, Lastabwurf, Ferranti-Effekt	Schaltvorgänge, ferne Blitzeinschläge	Schaltvorgänge, direkte Blitzeinschläge	Schaltvorgänge und Fehler in gasisolierten Schaltanlagen	
Genormte Spannungs- form	f= 50 Hz oder f= 60 Hz $T_{\rm t}^{\ a}$	$48 \text{ Hz} \ge f$ $\le 62 \text{ Hz}$ $T_{t} = 60 \text{ s}$	$T_{\rm p} = 250 \; \mu \text{s}$ $T_2 = 2500 \; \mu \text{s}$	$T_1 = 1.2 \mu\text{s}$ $T_2 = 50 \mu\text{s}$	a	
Genormte Spannungs- prüfung		Kurzzeit- Wechsel- spannungs- prüfung	Schaltstoß- Spannungs- prüfung	Blitzstoß- Spannungs- prüfung	a	

<sup>&</sup>lt;sup>a</sup> Festzulegen durch das zuständige Gerätekomitee.

# Wanderwellen auf Leitungen



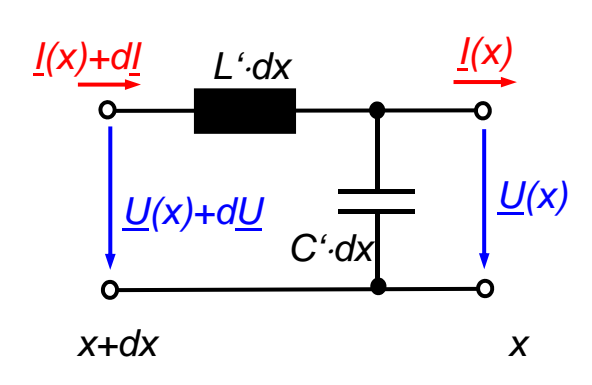


#### **Partielles Differentialgleichungssystem:**

$$\frac{\partial^2 u}{\partial x^2} - \dot{L}'\dot{C}' \cdot \frac{\partial^2 u}{\partial t^2} = 0 \qquad \text{und} \qquad \frac{\partial^2 i}{\partial x^2} - \dot{L}'\dot{C}' \cdot \frac{\partial^2 i}{\partial t^2} = 0$$

#### Lösung:

 $u_v(x-v\cdot t)$  und  $i_v(x-v\cdot t)$ : einem vorwärts laufenden Anteil, der sich in positive x-Richtung ausbreitet (x > 0),



 $u_r(x+v\cdot t)$  und  $i_r(x+v\cdot t)$ : einem rückwärts laufenden Anteil, der sich in negative x-Richtung ausbreitet (x < 0).

$$u(x,t) = u_{v}(x-v \cdot t) + u_{r}(x+v \cdot t)$$

$$i(x,t) = \frac{1}{Z} [u_{v}(x-v \cdot t) - u_{r}(x+v \cdot t)] = i_{v}(x-v \cdot t) + i_{r}(x+v \cdot t)$$

 $v = \frac{1}{\sqrt{L \cdot C}} \qquad Z = \sqrt{\frac{L}{C}}$ 

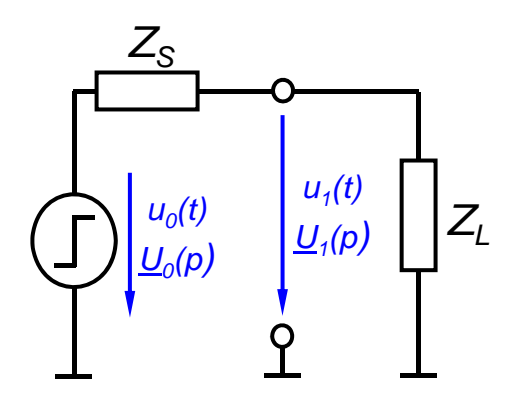
u(x,t) setzt sich an jedem Ort x und zu jedem Zeitpunkt t zusammen aus

- 1. einer vorlaufenden Welle  $u_{\nu}(x-v\cdot t)$
- 2. einer rücklaufenden Welle  $u_r(x+v\cdot t)$

einfachste Vorstellung  $u_v(x-vt)$  ist eine Rechteckwelle

# Wellenersatzschaltbild, Einlauffaktor, **Brechung und Reflexion (I)**





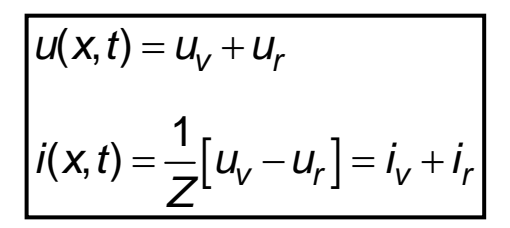
Rechteckwelle läuft in eine Leitung ein, Quellenimpedanz ist  $Z_{\rm S}$ , die Welle "sieht" den Wellenwiderstand  $Z_{\rm L}$ 

$$Z_{S}, \text{ die Welle "sieht" den Wellenwiderstand } Z_{L}$$

$$\underline{Z}_{L}$$

$$\underline{X}(p) = \underline{\underline{U}_{1}(p)} = \underline{\underline{Z}_{L}} \quad \text{und} \quad X = \underline{\underline{U}_{1}(p)} = \underline{\underline{U}_{1}(p)} = \underline{Z}_{L}$$

$$\underline{Y}(p) = \underline{\underline{U}_{1}(p)} = \underline{\underline{Z}_{L}} \quad \text{und} \quad X = \underline{\underline{U}_{1}(p)} = \underline{$$

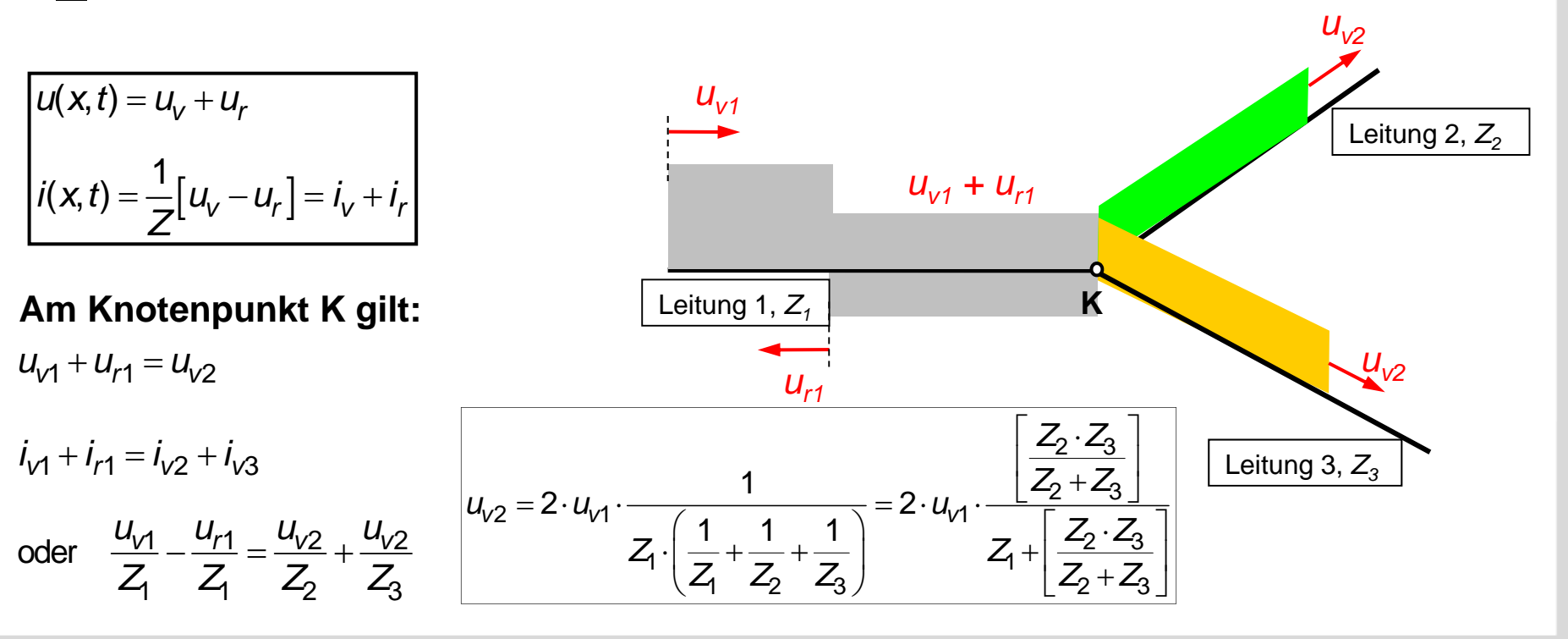


# Am Knotenpunkt K gilt:

$$U_{v1} + U_{r1} = U_{v2}$$

$$i_{v1} + i_{r1} = i_{v2} + i_{v3}$$

oder 
$$\frac{u_{v1}}{Z_1} - \frac{u_{r1}}{Z_1} = \frac{u_{v2}}{Z_2} + \frac{u_{v2}}{Z_3}$$

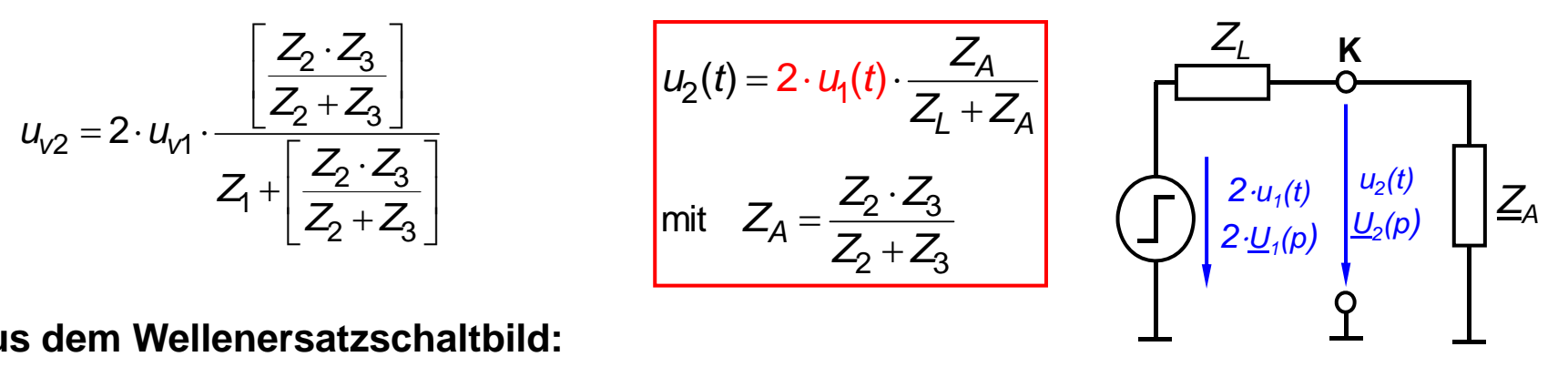


# Wellenersatzschaltbild, Einlauffaktor, **Brechung und Reflexion (II)**



$$u_{v2} = 2 \cdot u_{v1} \cdot \frac{\left[\frac{Z_2 \cdot Z_3}{Z_2 + Z_3}\right]}{Z_1 + \left[\frac{Z_2 \cdot Z_3}{Z_2 + Z_3}\right]}$$

$$u_2(t) = \frac{2 \cdot u_1(t)}{Z_L + Z_A}$$
mit  $Z_A = \frac{Z_2 \cdot Z_3}{Z_2 + Z_3}$ 



#### Aus dem Wellenersatzschaltbild:

$$\underline{U}_{2}(p) = \frac{\underline{Z}_{A}}{Z_{L} + \underline{Z}_{A}} \cdot 2\underline{U}_{1}(p) = \frac{1}{1 + \frac{Z_{L}}{\underline{Z}_{A}}} \cdot 2\underline{U}_{1}(p) = \underline{C}(p) \cdot \underline{U}_{1}(p) \quad \text{d.h.} \quad \underline{C}(p) = \frac{2}{1 + \frac{Z_{L}}{\underline{Z}_{A}}}$$

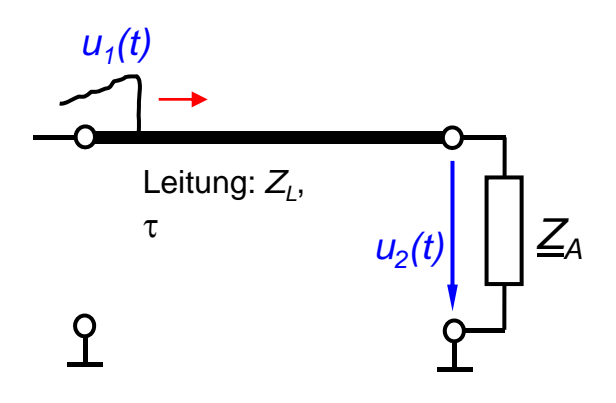
*C(p)* wird als Brechungsfaktor bezeichnet

Die Spannung  $U_2(p)$  am Ende der Leitung ist die Summe aus der vorlaufenden und der rücklaufenden Welle

$$\underline{U}_{2}(p) = \frac{2}{1 + \frac{Z_{L}}{Z_{A}}} \cdot \underline{U}_{1}(p) \qquad 1 - \frac{Z_{L}}{Z_{A}} \cdot \underline{U}_{1}(p) = \underline{R}(p) \cdot \underline{U}_{1}(p)$$

$$= \underline{U}_{V} + \underline{U}_{r} = \underline{U}_{1}(p) + \underline{U}_{r}$$

$$= \underline{U}_{V} + \underline{U}_{r} = \underline{U}_{1}(p) + \underline{U}_{r}$$
Reflexions faktor:  $\underline{R}(p) = \underline{Z}_{A} - Z_{L}$ 



Spannungen sind auch für frequenzabhängige Impedanzen (L, C) berechenbar

# Schaltüberspannungen (Innere Überspannungen)

 $u_0(t)$ 



Innere Überspannungen:

durch Schalthandlungen im Energieversorgungsnetz verursacht

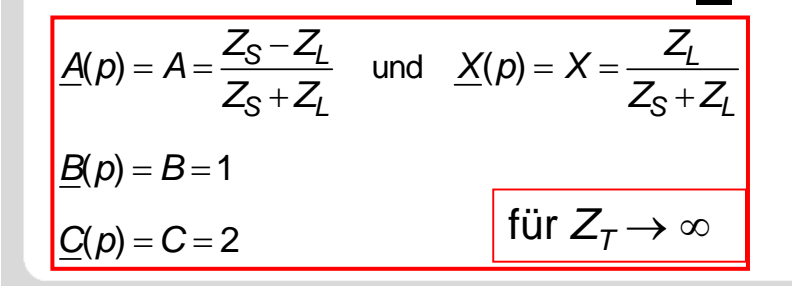
Schaltüberspannungen sind besonders ausgeprägt, wenn ein Betriebsmittel über eine

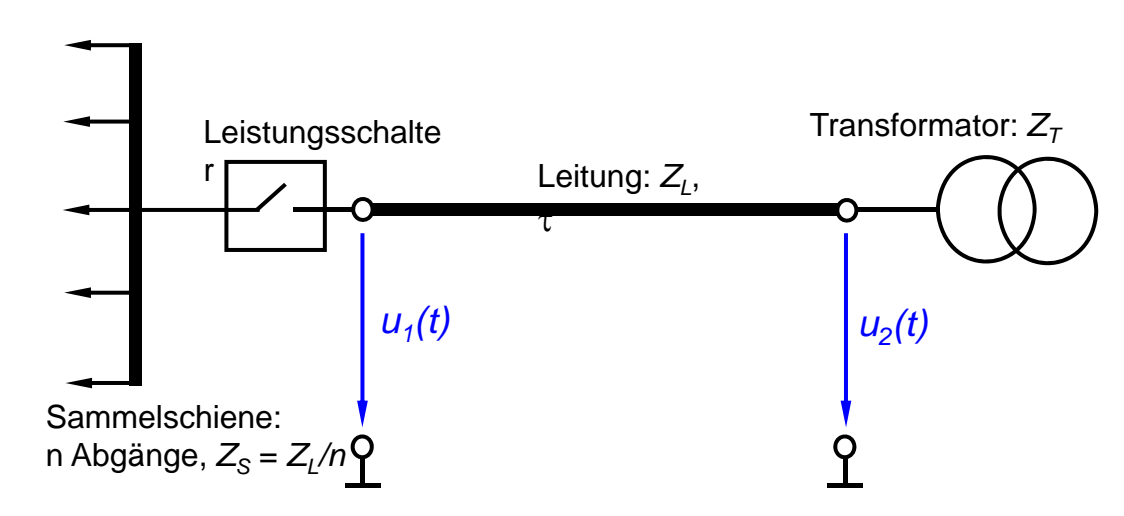
#### Stichleitung

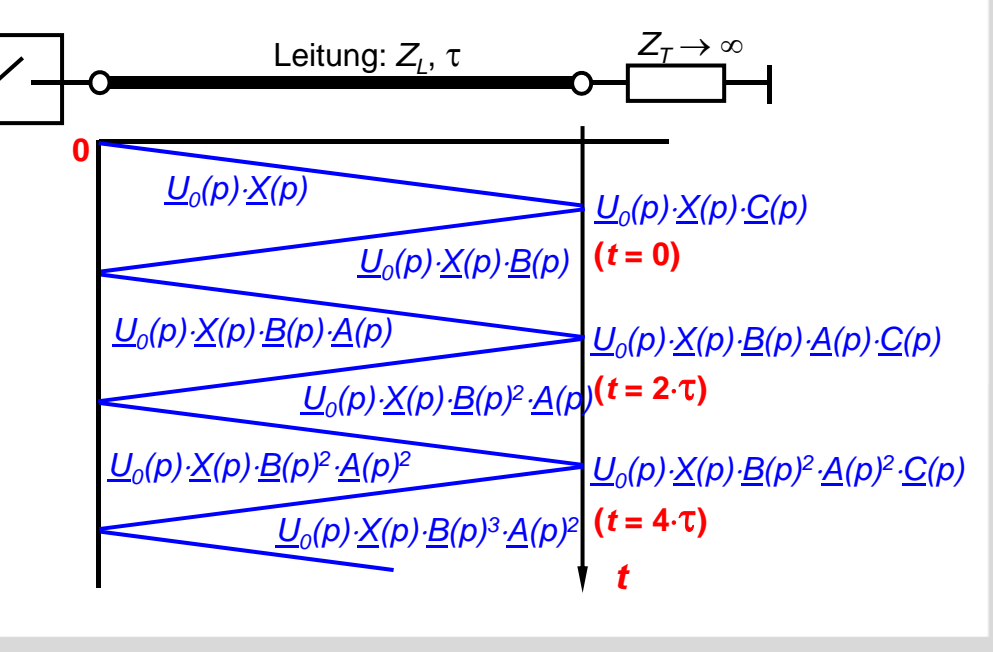
zugeschaltet wird

Modellierung des Transformators:

- Leerlauf,  $Z_T \rightarrow \infty$
- besser: Kapazität 2...4 nF







# Schaltüberspannungen (Innere Überspannungen)



#### Spannung am Transformator:

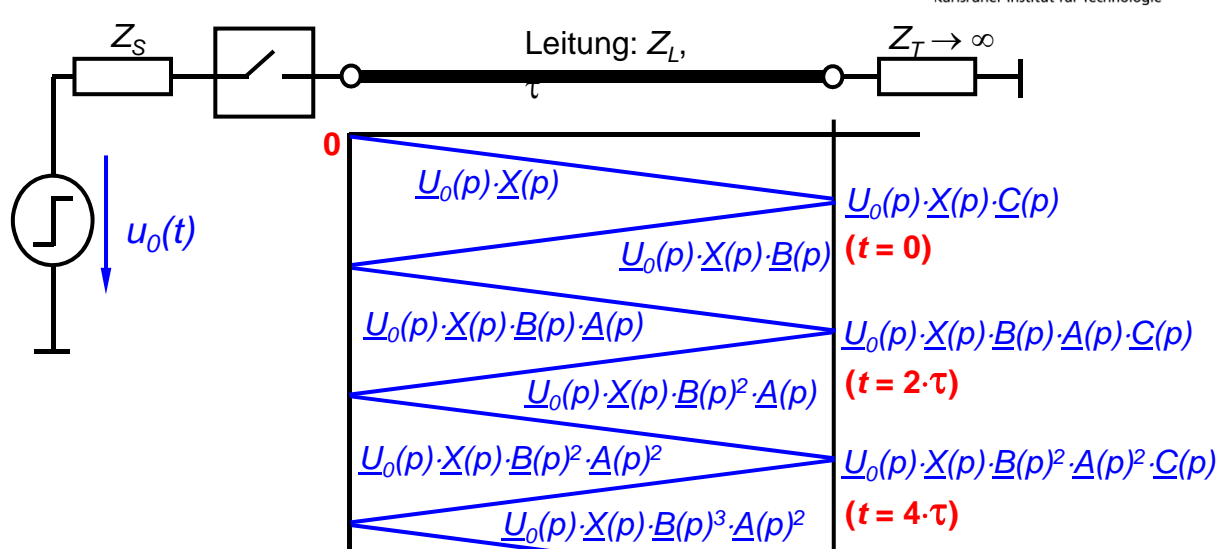
$$u_{2}(t) = X \cdot C \cdot \left[ s(t) \cdot U_{0} \right]$$

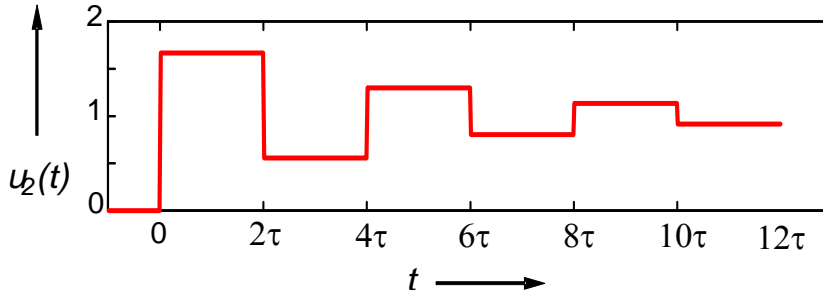
$$+ X \cdot C \cdot A \cdot B \cdot \left[ s(t - 2\tau) \cdot U_{0} \right]$$

$$+ X \cdot C \cdot A^{2} \cdot B^{2} \cdot \left[ s(t - 4\tau) \cdot U_{0} \right]$$

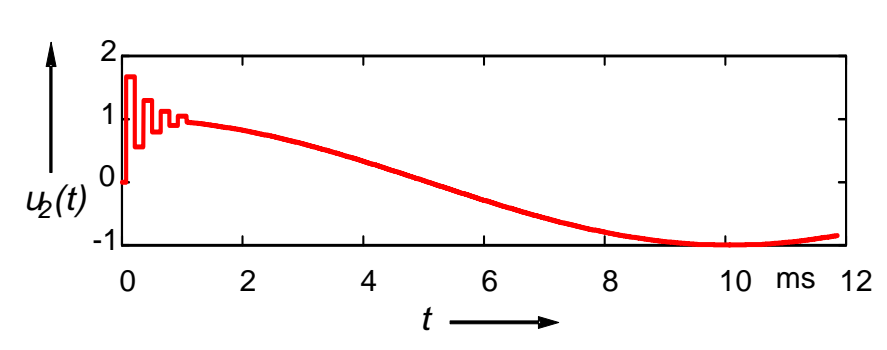
$$+ X \cdot C \cdot A^{3} \cdot B^{3} \cdot \left[ s(t - 6\tau) \cdot U_{0} \right]$$

$$+ X \cdot C \cdot A^{4} \cdot B^{4} \cdot \left[ s(t - 8\tau) \cdot U_{0} \right] + \dots$$





$$u_2(t) = \left[\frac{5}{3} \cdot s(t) - \frac{10}{9} \cdot s(t - 2\tau) + \frac{20}{27} \cdot s(t - 4\tau) - \frac{40}{81} \cdot s(t - 6\tau) + \frac{80}{243} \cdot s(t - 8\tau) - \dots\right] \cdot U_0$$



$$Z_{L} = 350 \Omega$$

$$Z_{S} = 70 \Omega$$

$$A = -2/3$$

$$B = 1$$

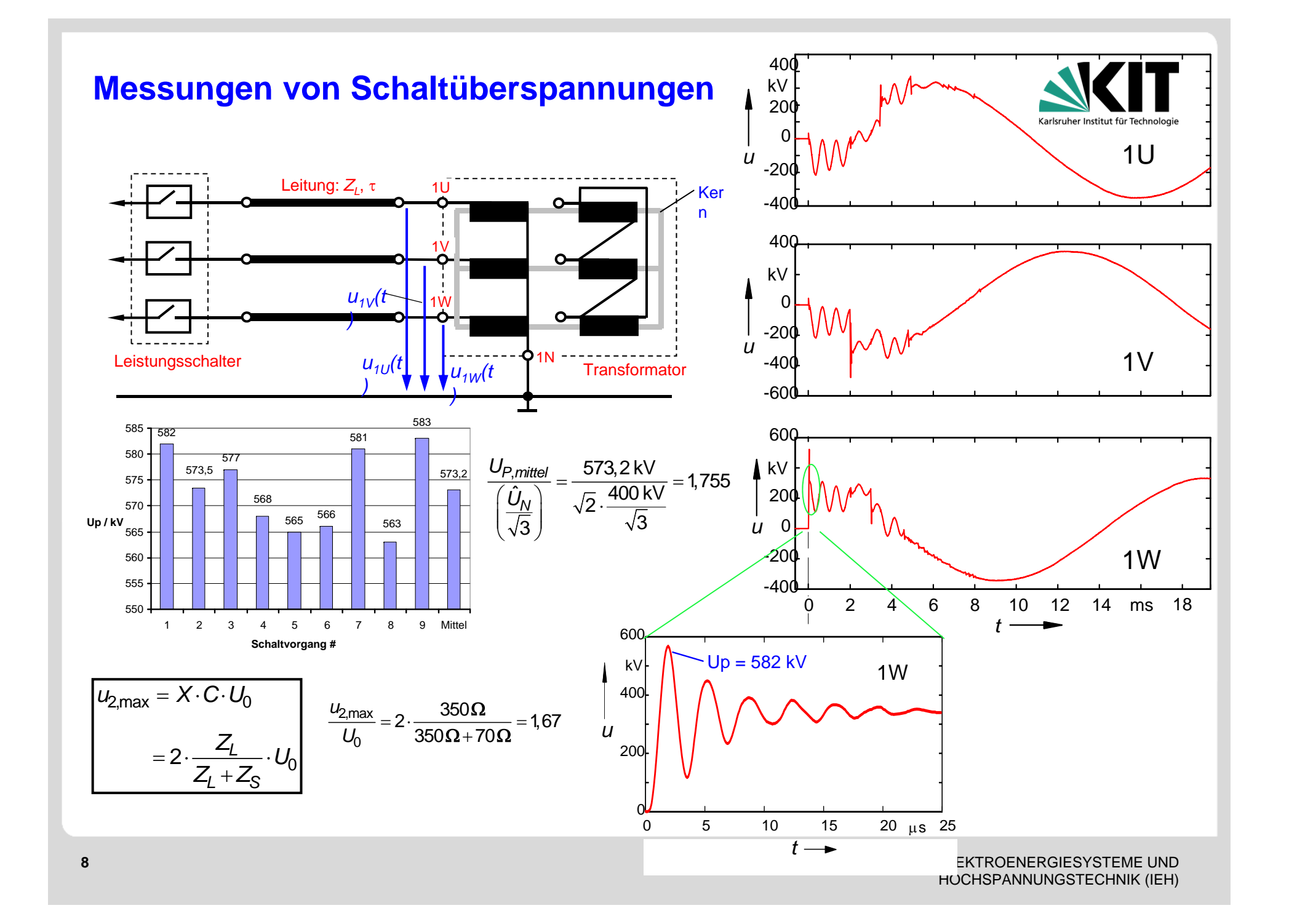
$$C = 2$$

$$X = 5/6$$

$$u_{2}(t) = U_{0} \cdot \begin{cases} \frac{5}{3} & \text{für } 0 \le t \le 2\tau \\ \frac{5}{3} - \frac{10}{9} & \text{für } 2\tau \le t \le 4\tau \end{cases}$$

$$u_{2}(t) = U_{0} \cdot \begin{cases} \frac{5}{3} - \frac{10}{9} + \frac{20}{27} & \text{für } 4\tau \le t \le 6\tau \\ \frac{5}{3} - \frac{10}{9} + \frac{20}{27} - \frac{40}{81} & \text{für } 6\tau \le t \le 8\tau \end{cases}$$

$$\frac{5}{3} - \frac{10}{9} + \frac{20}{27} - \frac{40}{81} + \frac{80}{243} & \text{für } 8\tau \le t \le 10\tau$$

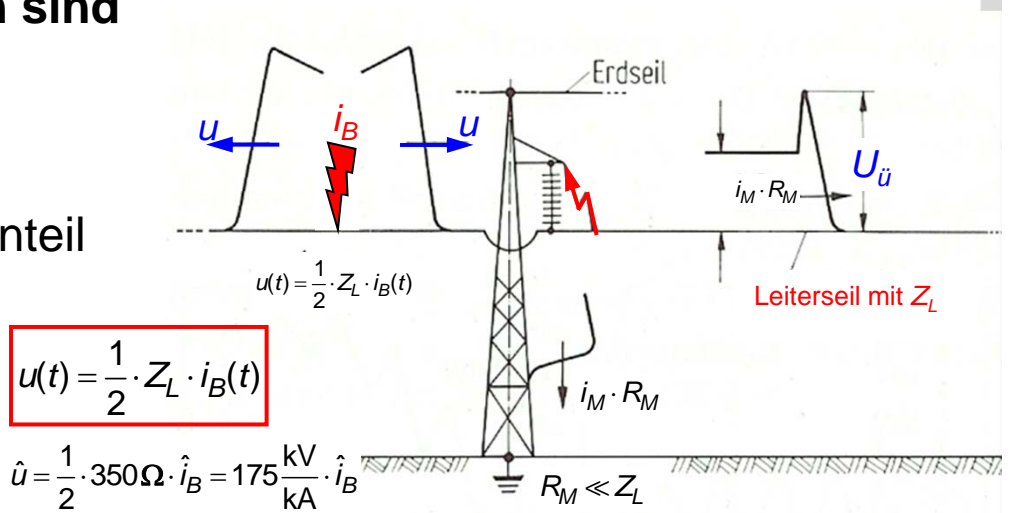


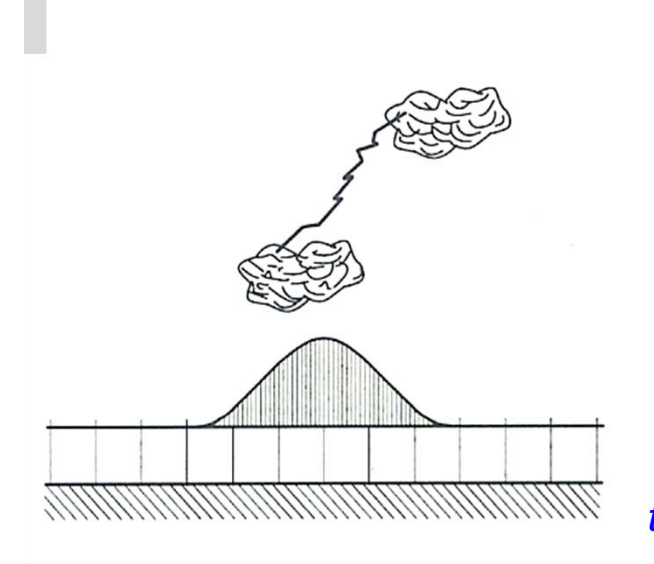
# Blitzüberspannungen

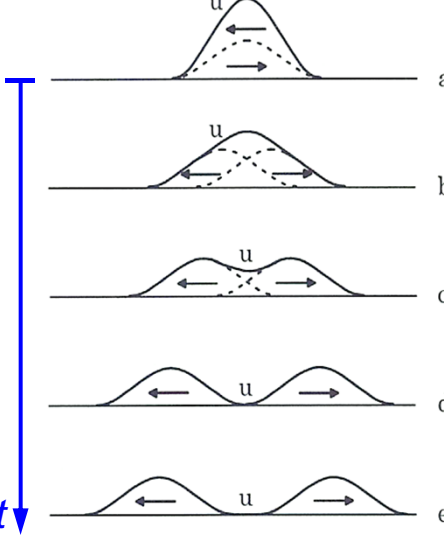


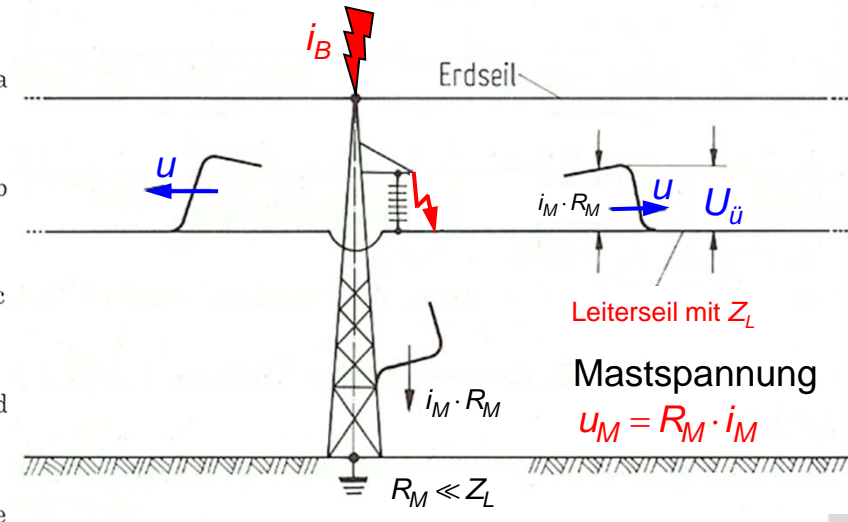
# Ursachen für äußere Überspannungen sind

- direkter Blitzeinschlag in das Leiterseil einer Freileitung,
- Blitzeinschlag in ein geerdetes Anlagenteil mit rückwärtigem Überschlag auf den Betriebsstromkreis,
- induzierte Spannungen infolge von nahen Blitzeinschlägen







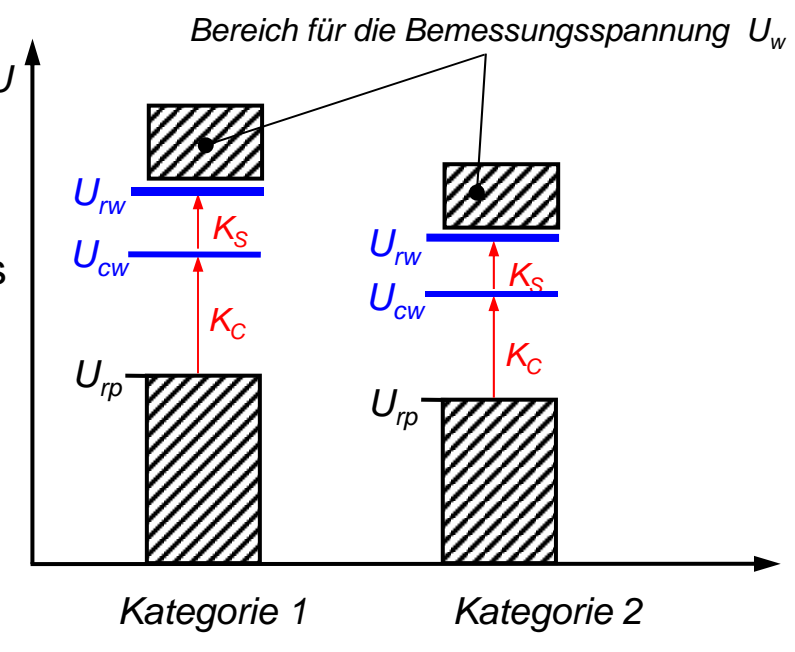


# **Isolationskoordination (I)**



#### Ziel der Isolationskoordination:

Abstimmung der Spannungsfestigkeit von
Betriebsmitteln mit den im Netz auftretenden
Überspannungen und den sonstigen Randbedingungen (Gewitterwahrscheinlichkeit), so dass
die Durchschlagwahrscheinlichkeit auf ein
wirtschaftlich und betriebstechnisch sinnvolles
Maß reduziert wird



# 1. Bestimmung der repräsentativen Überspannungen $U_{rp}$

Spannungskategorie

Bestimmung der Überspannungen in den Spannungskategorien

- niederfrequente Spannungen (dauernd, zeitweilig)
- transiente Spannungen (langsam, schnell, sehr schnell)

für Normalbetrieb und Störungen (Erdfehler, Lastabwurf, Resonanzerscheinungen etc.)

z. B. aus Netzanalysen und -berechnungen oder Messungen

# **Isolationskoordination (II)**



## 2. Bestimmung der Koordinations-Stehspannungen $U_{cw}$

Die Koordinations-Stehspannungen ergeben sich

durch  $U_{cw} = K_C \cdot U_{rp}$ 

Durch  $U_{cw}$  wird die elektrische Festigkeit des Isolationssystems so festgelegt, dass sich im Netzbetrieb akzeptable Ausfälle (Durchschlagsraten) ergeben

 $K_C$  wird aus statistischen Betrachtungen bestimmt

# Bereich für die Bemessungsspannung U<sub>w</sub> U<sub>rw</sub> V<sub>cw</sub> V<sub>cw</sub> K<sub>c</sub> U<sub>rp</sub> Kategorie 1 Kategorie 2 ...

#### 3. Bestimmung der Stehspannungen $U_{rw}$

Der Faktor  $K_S$  berücksichtigt Unterschiede zwischen Betriebs- und Prüfbedingungen

$$U_{rw} = K_{S} \cdot U_{cw} = K_{S} \cdot K_{C} \cdot U_{rp}$$

Spannungskategorie

Dies sind

- unterschiedliche atmosphärische Bedingungen (Luftdruck, Luftfeuchtigkeit)
- Fertigungstoleranzen, Streuung der Produktqualität
- Degradation des Isolationssystems durch Alterung

$$K_{S} = \begin{cases} 1,15 & \text{innere Isolierung} \\ 1,05 & \text{äußere Isolierung} \end{cases}$$

# **Isolationskoordination (III)**



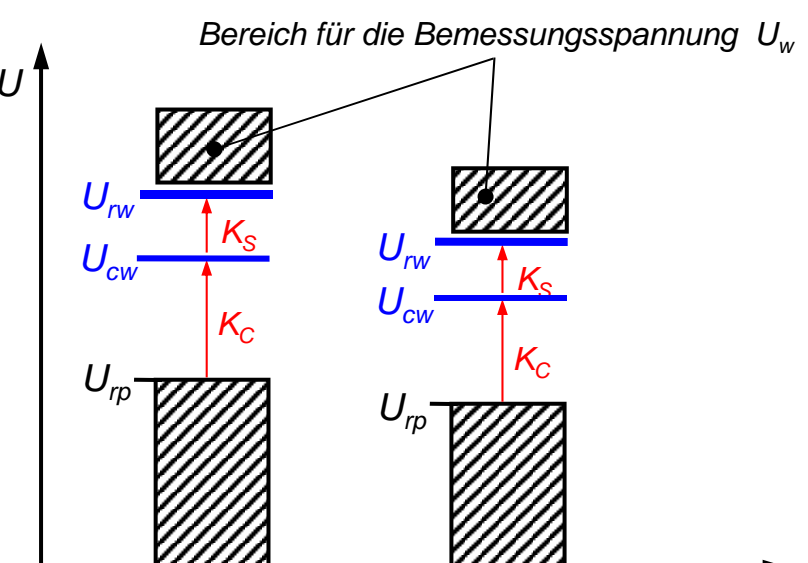
# 4. Auswahl eines genormten Isolationspegels (Bemessungsspannung) $U_w$

Auswahl der Bemessungsspannungen  $U_w$  aus genormten Werten für die verschiedenen Spannungskategorien so, dass für alle erforderlichen Stehspannungen gilt:  $U_w > U_{rw}$ 

Höchste Spannung für Betriebsmittel $U_{\mathrm{m}}$	Bemes			
	Längsisolation (Anmerkung 1)	Leiter-Erde	Verhältnis Leiter-Leiter zu Leiter-Erde	Bemessungs-Blitz stoßspannung
kV Effektivwert	kV Scheitelwert	kV Scheitelwert	Scheitelwert	kV Scheitelwert
300	750	750	1,50	859 950
	750	850	1,50	950 1050
362	850	850	1,50	050 1050
	850	950	1,80	1050 1175

Prüfspannungspegel

Kombination von Bemessungsspannungen  $U_w$  = Isolationspegel dem zugeordnet ist eine Spannung  $U_m$  (höchste Spannung für Betriebsmittel)



Kategorie 1 Kategorie 2

#### Snanni innskatenorie

# **Beanspruchung von Isolationssystemen** durch das elektrische Feld



#### Die Maxwell'schen Gleichungen

Durchflutungsgesetz (Ladungserhaltung)

$$rot \mathbf{H} = \mathbf{J} + \frac{\partial \mathbf{D}}{\partial t}$$

$$\operatorname{rot} \mathbf{H} = \mathbf{J} + \frac{\partial \mathbf{D}}{\partial t} \qquad \qquad \oint_{\mathbf{C}} \mathbf{H} \cdot d\mathbf{s} = \iint_{\mathbf{A}} \left[ \mathbf{J} + \frac{\partial \mathbf{D}}{\partial t} \right] \cdot d\mathbf{A} \qquad \qquad \operatorname{rot} \mathbf{E} = -\frac{\partial \mathbf{B}}{\partial t} \qquad \qquad \oint_{\mathbf{C}} \mathbf{E} \cdot d\mathbf{s} = -\frac{\partial}{\partial t} \iint_{\mathbf{A}} \mathbf{B} \cdot d\mathbf{A}$$

Magnetisches Feld ist quellenfrei

$$\int_{A} \mathbf{B} \cdot d\mathbf{A} = 0$$

Materialgleichungen: 
$$\mathbf{D} = \varepsilon_0 \cdot \varepsilon_r \cdot \mathbf{E}$$
  $\mathbf{B} = \mu_0 \cdot \mu_r \cdot \mathbf{H}$   $\mathbf{J} = \kappa \cdot \mathbf{E}$ 

$$rot \mathbf{E} = -\frac{\partial \mathbf{B}}{\partial t}$$

$$\oint_{C} \mathbf{E} \cdot d\mathbf{s} = -\frac{\partial}{\partial t} \int_{A} \mathbf{B} \cdot d\mathbf{A}$$

Elektrisches Feld ist ein Quellenfeld

$$\mathsf{div}\, \boldsymbol{D} = \rho$$

$$\int_{A} \mathbf{D} \cdot d\mathbf{A} = \int_{V} \rho \cdot dV$$

$$\mathbf{B} = \mu_0 \cdot \mu_r \cdot \mathbf{H}$$

$$J = \kappa \cdot E$$

#### Statische, stationäre und langsam veränderliche Felder

Das elektrische Feld kann als Quellenfeld angesehen werden, ein induziertes elektrisches Feld tritt nicht auf bzw. kann vernachlässigt werden ⇒ kein magnetisches Feld

$$\operatorname{div} \mathbf{D} = \rho \qquad \qquad \int_{A} \mathbf{D} \cdot d\mathbf{A} = Q = \int_{V} \rho \cdot dV$$

oder  $\oint \mathbf{E} \cdot d\mathbf{s} = 0$ Aus rot  $\boldsymbol{E} = 0$ folgt für das Potential

$$\varphi(\mathbf{r}) = \varphi_0 - \int_{\mathbf{r}_1}^{\mathbf{r}_2} \mathbf{E} \cdot d\mathbf{r}$$
 oder  $\mathbf{E} = -\operatorname{grad} \varphi$ 

Poisson-Gleichung div grad 
$$\varphi = -\frac{\rho}{\varepsilon_0 \cdot \varepsilon_r} = \Delta \varphi$$

$$\Delta \phi = 0$$

Laplace-Gleichung 
$$\Delta \phi = 0$$
  $\Delta \phi = \frac{\partial^2 \phi}{\partial x^2} + \frac{\partial^2 \phi}{\partial y^2} + \frac{\partial^2 \phi}{\partial z^2} = 0$ 

# Methoden zur Berechnung elektrischer Felder



#### analytische Verfahren

# • Direkte Lösung der Poisson-Gleichung oder der Laplace-Gleichung:

Direkte Integration der Laplace- oder Poisson-Gleichung, jedoch nur für einfache Geometrien anwendbar

#### • Ladungsverfahren:

Mit der Beziehung 
$$\int_{A} \mathbf{D} \cdot d\mathbf{A} = \mathbf{Q}$$

lassen sich zylinder- und kugelsymmetrische Anordnungen sehr einfach berechnen.

Zunächst wird eine unbekannte Ladung Q auf den Elektroden angenommen, dann wird die dielektrische Verschiebung D und die elektrische Feldstärke E berechnet. Die Spannung U ist das Wegintegral über die Feldstärke E, dadurch kann die unbekannte Ladung Q eliminiert werden

#### Konforme Abbildung:

Teilbereich der Funktionentheorie komplexer Veränderlicher

Idee: Transformation einer komplizierten Geometrie in der x-y-Ebene in die u-v-Ebene dort einfach lösbar, dann Rücktransformation

Konforme Abbildung war von Bedeutung bis numerische Verfahren aufkamen

# Methoden zur Berechnung elektrischer Felder



#### numerische Verfahren

#### Ersatzladungsverfahren:

es werden punktförmige Ersatzladungen so definiert, dass sich durch Überlagerung der Ersatzladungen an den Elektrodenkonturen Äquipotentialflächen und damit definierte Potentiale ergeben

#### • Finite-Differenzen-Verfahren:

Der Feldraum wird diskretisiert, durch Diskretisierung der Potentialgleichung (Poisson- oder Laplace-Gleichung) kann diese schrittweise gelöst werden

#### • Finite-Elemente-Verfahren:

Das am weitesten verbreitete Verfahren zur Lösung der Potentialgleichung, eignet sich für viele Arten von Strömungsfeldern (thermische, magnetische, elektrische, ...)

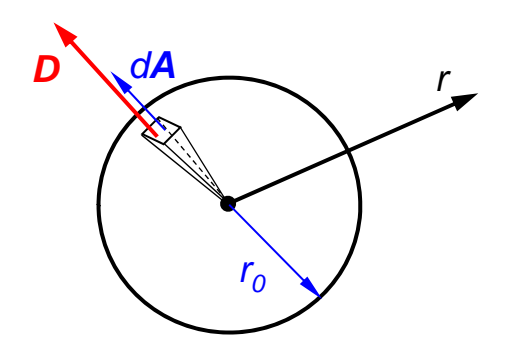
# **Kugelsymmetrische Isoliersysteme – Abschirmelektroden (I)**



Auf einer Metallkugel mit dem Radius  $r_0$  befindet sich die Ladung Q

$$Q = \int_{A} \mathbf{D} \cdot d\mathbf{A} = D(r) \cdot 4\pi \cdot r^{2} = (E(r) \cdot \varepsilon_{0} \cdot \varepsilon_{r}) \cdot 4\pi \cdot r^{2}$$

außerhalb der Kugelelektrode in der Luft mit  $\epsilon_{r,Luft} \approx 1$ :



Elektrische Feldstärke: 
$$E(r) = \frac{Q}{4\pi \cdot \varepsilon_0} \cdot \frac{1}{r^2}$$

Potential: 
$$\varphi(r) = \varphi(r) = \varphi_0 - \int_{r_1}^{r_2} \mathbf{E} \cdot d\mathbf{r} = \varphi_0 - \int_{r_0}^{r} E(r) \cdot dr = \varphi_0 - \int_{r_0}^{r} \frac{Q}{4\pi \cdot \varepsilon_0 \cdot r^2} \cdot dr$$

$$= \varphi_0 - \frac{Q}{4\pi \cdot \varepsilon_0} \cdot \left[ -\frac{1}{r} \right]_{r_0}^{r} = \varphi_0 - \frac{Q}{4\pi \cdot \varepsilon_0} \left( -\frac{1}{r} + \frac{1}{r_0} \right)$$

$$= \varphi_0 + \frac{Q}{4\pi \cdot \varepsilon_0} \left( \frac{1}{r} - \frac{1}{r_0} \right)$$

Zwischen den Elektroden eines Kugelkondensators mit den Radien  $R_i$  und  $R_a$  liegt die Spannung U:

$$U = \varphi(R_i) - \varphi(R_a) = \varphi_0 - \varphi_0 - \frac{Q}{4\pi \cdot \varepsilon_0} \left( \frac{1}{R_a} - \frac{1}{R_i} \right) = \frac{Q}{4\pi \cdot \varepsilon_0} \left( \frac{1}{R_i} - \frac{1}{R_a} \right)$$

# **Kugelsymmetrische Isoliersysteme**

# Abschirmelektroden (II)



Zwischen den Elektroden eines Kugelkondensators mit den Radien  $R_i$ und R<sub>a</sub> liegt die Spannung *U*:

$$U = \varphi(R_i) - \varphi(R_a) = \varphi_0 - \varphi_0 - \frac{Q}{4\pi \cdot \varepsilon_0} \left( \frac{1}{R_a} - \frac{1}{R_i} \right) = \frac{Q}{4\pi \cdot \varepsilon_0} \left( \frac{1}{R_i} - \frac{1}{R_a} \right)$$

Kapazität eines Kugelkondensators:

$$C = \frac{|Q|}{|U|} = \frac{Q}{\frac{Q}{4\pi \cdot \varepsilon_0} \left(\frac{1}{R_i} - \frac{1}{R_a}\right)} = 4\pi \cdot \varepsilon_0 \frac{R_a \cdot R_i}{R_a - R_i}$$

Kapazität einer Kugelelektrode im freien Raum, d. h. für  $R_a \rightarrow \infty$ :

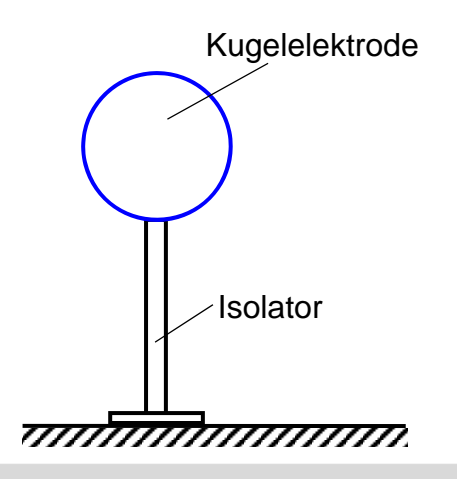
$$C = \frac{Q}{\frac{Q}{4\pi \cdot \varepsilon_0} \left(\frac{1}{R_i} - \frac{1}{R_a}\right)} = 4\pi \cdot \varepsilon_0 \cdot R_i$$

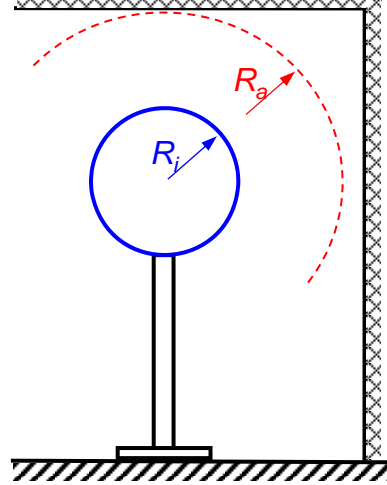
Feldstärke E(r) in einem Kugelkondensator

$$E(r) = \frac{Q}{4\pi \cdot \varepsilon_0 \cdot r^2} = \frac{1}{4\pi \cdot \varepsilon_0 \cdot r^2} \cdot \frac{4\pi \cdot \varepsilon_0}{\left(\frac{1}{R_i} - \frac{1}{R_a}\right)} \cdot U = U \cdot \frac{R_a \cdot R_i}{R_a - R_i} \cdot \frac{1}{r^2}$$

Maximale Feldstärke **Elektrode** 

Maximale Feldstarke
$$E_{\text{max}} \text{ an der inneren } E_{\text{max}} = E(r = R_i) = \frac{U}{R_a - R_i} \cdot \frac{R_a}{R_i}$$





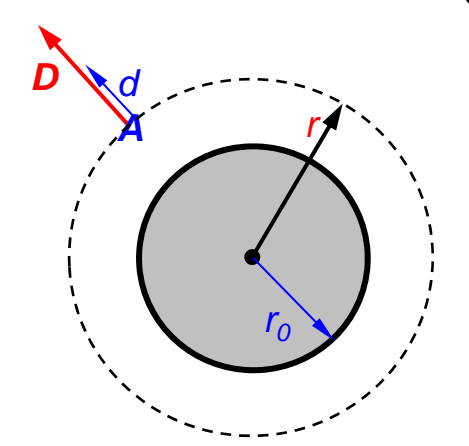
# **Zylindersymmetrische Isoliersysteme**

# - Kabel und Durchführungen (I)



Auf einer Zylinder mit dem Radius  $r_0$ befindet sich die Ladung Q

$$Q = \int_{A} \mathbf{D} \cdot d\mathbf{A} = D(r) \cdot 2\pi \cdot r \cdot \ell = (E(r) \cdot \varepsilon_{0} \cdot \varepsilon_{r}) \cdot 2\pi \cdot r \cdot \ell$$



außerhalb der Kugelelektrode in der Luft mit  $\epsilon_{r,Luft} \approx$  1:

Elektrische Feldstärke:  $E(r) = \frac{Q_{\ell}}{2\pi \cdot s \cdot s} \cdot \frac{1}{r}$ 

$$E(r) = \frac{Q/\sqrt{2\pi \cdot \varepsilon_0 \cdot \varepsilon_r}}{2\pi \cdot \varepsilon_0 \cdot \varepsilon_r} \cdot \frac{1}{r}$$

Potential: 
$$\phi(r) = \phi_0 - \int_{r_0}^r E(r) \cdot dr = \phi_0 - \int_{r_0}^r \frac{Q}{2\pi \cdot \varepsilon_0 \cdot \varepsilon_r} \cdot \frac{1}{r} \cdot dr = \phi_0 - \frac{Q}{2\pi \cdot \varepsilon_0 \cdot \varepsilon_r} \cdot \left[\ln r\right]_{r_0}^r$$

$$= \phi_0 - \frac{Q}{2\pi \cdot \varepsilon_0 \cdot \varepsilon_r} \cdot \ln\left(\frac{r}{r_0}\right)$$

Zwischen den Elektroden eines Zylinderkondensators mit den Radien  $R_i$  und  $R_a$  liegt die Spannung *U*:

$$U = \varphi(R_i) - \varphi(R_a) = \varphi_0 - \varphi_0 + \frac{Q}{2\pi \cdot \varepsilon_0 \cdot \varepsilon_r} \cdot \ln\left(\frac{R_a}{R_i}\right) = \frac{Q}{2\pi \cdot \varepsilon_0 \cdot \varepsilon_r} \cdot \ln\left(\frac{R_a}{R_i}\right)$$

# **Zylindersymmetrische Isoliersysteme**

# - Kabel und Durchführungen (II)



Zwischen den Elektroden eines Zylinderkondensators mit den Radien  $R_i$  und  $R_a$  liegt die Spannung *U*:

$$U = \varphi(R_i) - \varphi(R_a) = \varphi_0 - \varphi_0 + \frac{Q/\ell}{2\pi \cdot \varepsilon_0 \cdot \varepsilon_r} \cdot \ln\left(\frac{R_a}{R_i}\right) = \frac{Q/\ell}{2\pi \cdot \varepsilon_0 \cdot \varepsilon_r} \cdot \ln\left(\frac{R_a}{R_i}\right)$$

# Kapazität eines Zylinderkondensators:

$$C = \frac{|Q|}{|U|} = \frac{Q}{\frac{Q}{2\pi \cdot \epsilon_0 \cdot \epsilon}} \cdot \ln\left(\frac{R_a}{R_i}\right) = 2\pi \cdot \epsilon_0 \cdot \epsilon_r \cdot \ell \cdot \frac{1}{\ln\left(\frac{R_a}{R_i}\right)} \qquad \qquad \varphi(r) = \varphi_0 - \frac{U}{\ln\left(\frac{R_a}{R}\right)} \cdot \ln\left(\frac{r}{R_i}\right)$$

Potential im Feldraum zwischen den beiden Elektroden

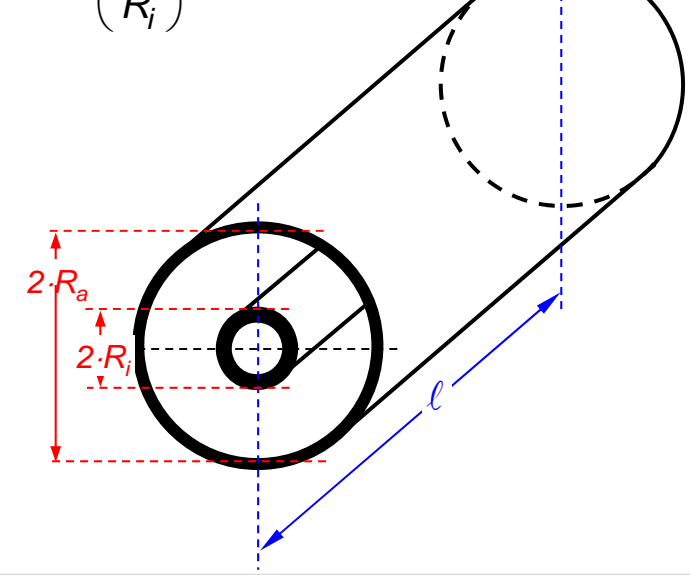
$$\varphi(r) = \varphi_0 - \frac{U}{\ln\left(\frac{R_a}{R_i}\right)} \cdot \ln\left(\frac{r}{R_i}\right)$$

Feldstärke E(r) in einem Zylinderkondensator

$$E(r) = \frac{\frac{Q}{\ell}}{2\pi \cdot \varepsilon_0 \cdot \varepsilon_r} \cdot \frac{1}{r} = \frac{U}{\ln\left(\frac{R_a}{R_i}\right)} \cdot \frac{1}{r}$$

Maximale Feldstärke  $E_{max}$  an der inneren Elektrode

$$E_{\text{max}} = E(r = R_i) = \frac{U}{\ln\left(\frac{R_a}{R_i}\right)} \cdot \frac{1}{R_i}$$



#### Radialfeldkabel

Feldstärke E(r) und Äquipotentiallinien im Bereich des Isoliersystems

Innere Leitschicht: Spannung *U* 

Äußere Leitschicht: Erdpotential

N Äquipotentiallinien (inkl. ω = 0 und φ = U)  $ΔU = \frac{U}{N-1}$ 

$$\Delta U = \frac{U}{N-1}$$

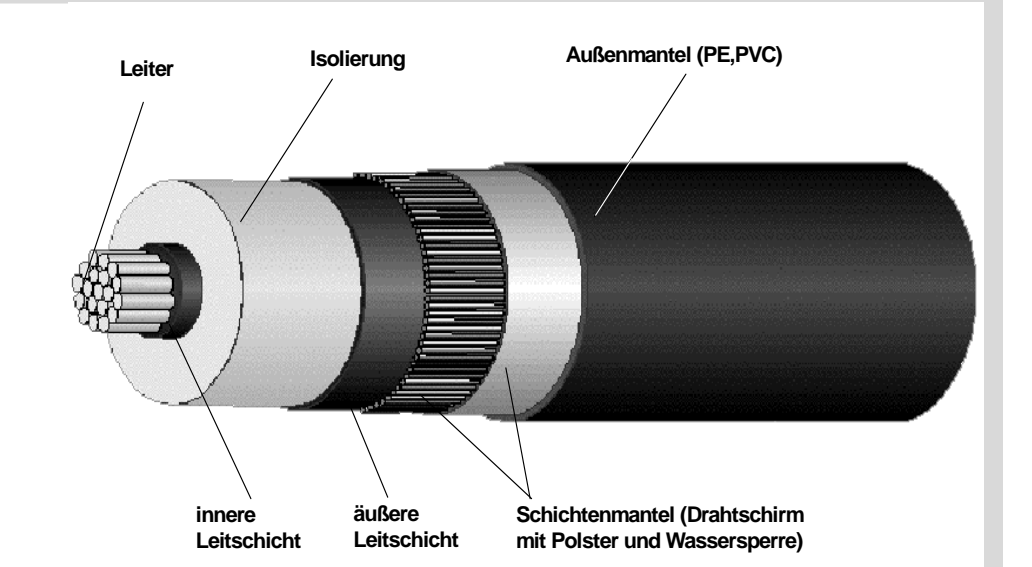
$$\varphi(r_k) = \varphi_0 - \frac{U}{\ln\left(\frac{R_a}{R_i}\right)} \cdot \ln\left(\frac{r_k}{R_i}\right) = \varphi_0 - k \cdot \frac{U}{N-1} \quad \text{mit} \quad k = 0, 1, ..., N-1$$

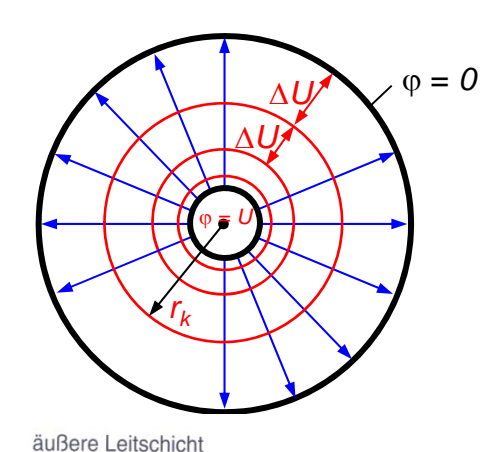
und 
$$\varphi(r = R_i) = \varphi_0 = U$$

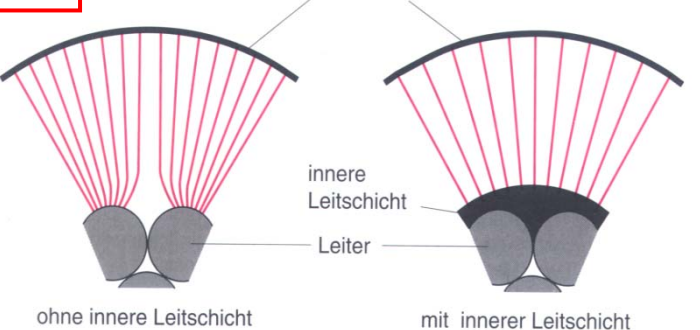
$$r_k = R_i \cdot e^{\frac{k}{N-1} \cdot \ln\left(\frac{R_a}{R_i}\right)}$$
 und  $\varphi(r_k) = U \cdot \left(1 - \frac{k}{N-1}\right)$  mit  $k = 0, 1, ..., N-1$ 

#### Funktion der Leitschichten:

Verringerung der elektrischen Feldstärke an den Einzel-drähten des Innenleiters und am äußeren Drahtschirm







# Hochspannungsdurchführungen

#### Aufgabe der Durchführung:

Einbringendes Hochspannungspotentials in das Innere eines geerdeten Gehäuses

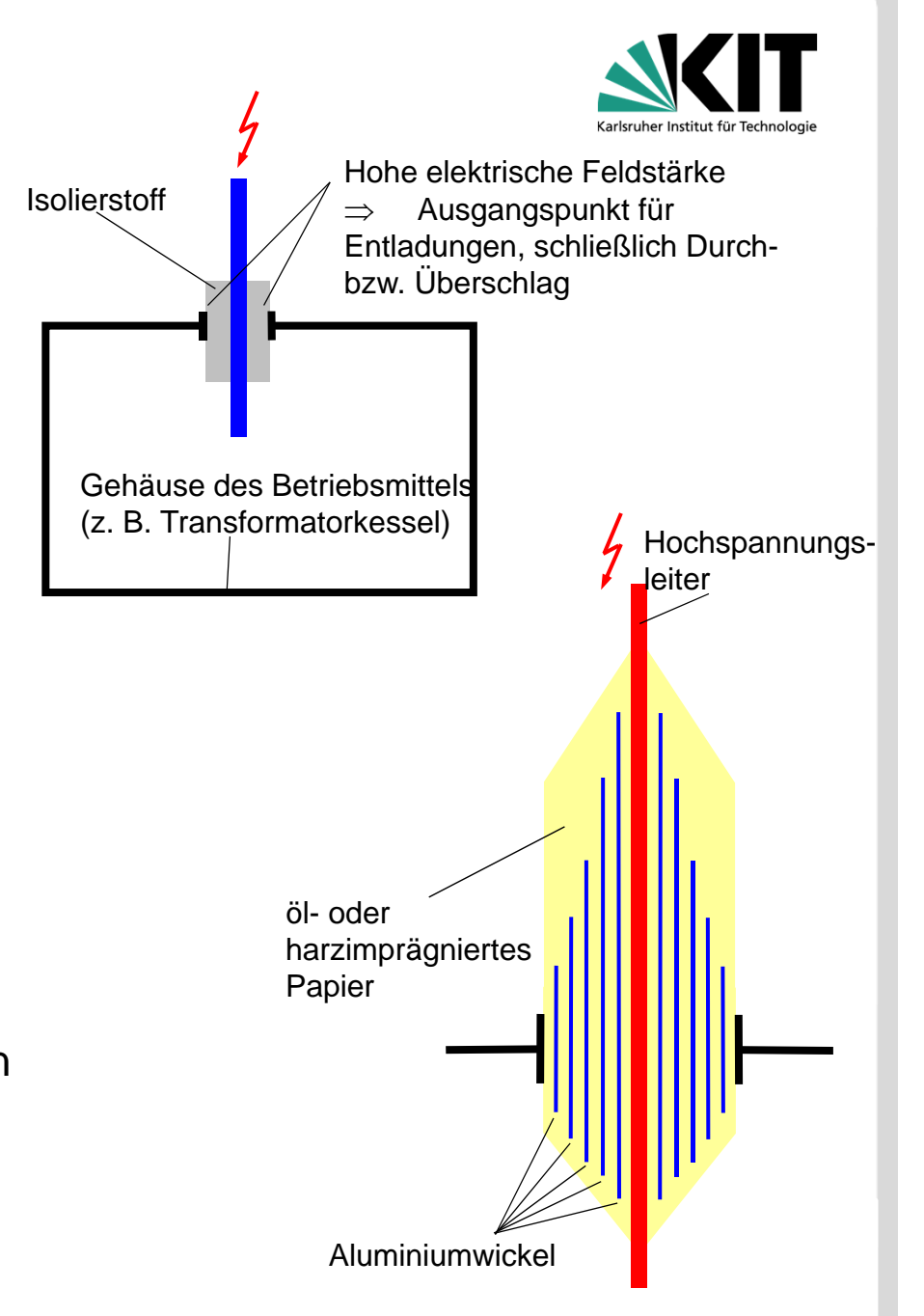
#### Einfache Konstruktion:

hohe Feldstärken an den Rändern des Kessels,dadurch Entladungen, d. h. Zerstörung des Isolierstoffs schließlich Durch- oder Überschlag der Isolierung

#### Deshalb:

gezielte Steuerung des Potentials durch Aluminiumfolien bei definierten Radien und mit definierten Längen

⇒ Aluminiumwickel sind Äquipotentialflächen



# Kapazitive Absteuerung bei Kondensatordurchführungen



Kapazität  $C_k$  zwischen den Aluminiumwickeln k und k+1

$$C_{k} = 2\pi \cdot \varepsilon_{0} \cdot \varepsilon_{r} \cdot \frac{\ell_{k+1}}{\ln\left(\frac{r_{k+1}}{r_{k}}\right)}$$

mit 
$$k = 0, 1, ..., N-1$$

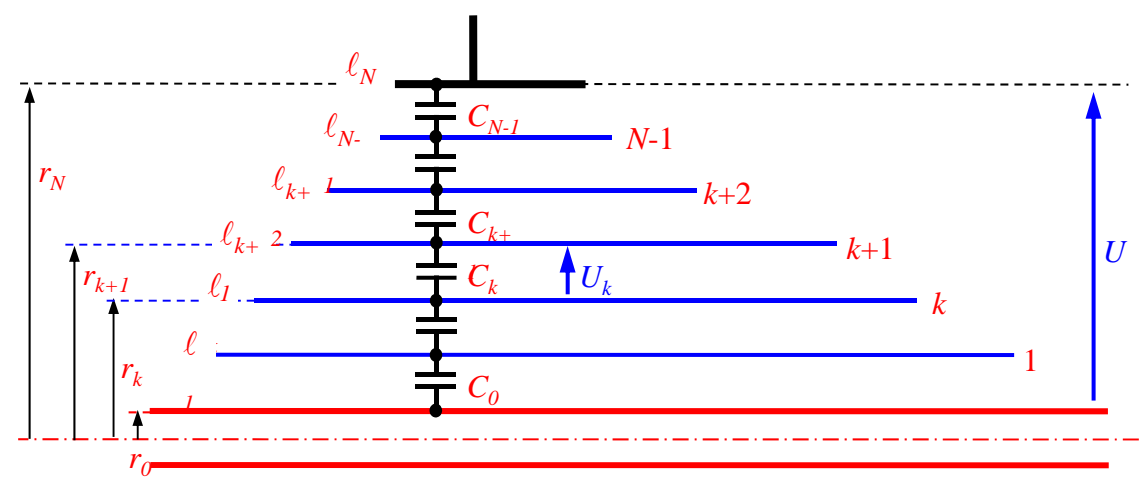
Gesamte Kapazität C der Anordnung (Reihenschaltung aller  $C_{\iota}$ )

$$C = \frac{1}{\sum_{k=0}^{N-1} \frac{1}{C_k}} = \frac{2\pi \cdot \varepsilon_0 \cdot \varepsilon_r}{\sum_{k=0}^{N-1} \left[ \frac{1}{\ell_{k+1}} \cdot \ln\left(\frac{r_{k+1}}{r_k}\right) \right]} \longrightarrow$$

elektrische Feldstärke zwischen den Aluminiumwickeln k und k+1

$$E_{k}(r) = \frac{U_{k}}{\ln\left(\frac{r_{k+1}}{r_{k}}\right)} \cdot \frac{1}{r} = \frac{U}{\ell_{k+1} \cdot \sum_{j=0}^{N-1} \left[\frac{1}{\ell_{j+1}} \cdot \ln\left(\frac{r_{j+1}}{r_{j}}\right)\right]} \cdot \frac{1}{r} \quad \text{mit} \quad k = 0, 1, \dots, N-1$$

$$E_{k, \text{max}} = E_{k}(r = r_{k}) = \frac{U}{\sum_{j=0}^{N-1} \left[\frac{1}{\ell_{j+1}} \cdot \ln\left(\frac{r_{j+1}}{r_{j}}\right)\right]} \cdot \frac{1}{r_{k} \cdot \ell_{k+1}}$$



Kondensatorkette: durch alle Kondensatoren fließt derselbe Strom:  $I = \omega \cdot C_k \cdot U_k = \omega \cdot C \cdot U$ 

(Reinenschaltung aller 
$$C_k$$
)
$$C = \frac{1}{\sum_{k=0}^{N-1} \frac{1}{C_k}} = \frac{2\pi \cdot \varepsilon_0 \cdot \varepsilon_r}{\sum_{k=0}^{N-1} \left[\frac{1}{\ell_{k+1}} \cdot \ln\left(\frac{r_{k+1}}{r_k}\right)\right]} \longrightarrow U_k = \frac{1}{C_k} \cdot C \cdot U = \frac{\ln\left(\frac{r_{k+1}}{r_k}\right)}{\sum_{j=0}^{N-1} \left[\frac{1}{\ell_{j+1}} \cdot \ln\left(\frac{r_{j+1}}{r_j}\right)\right]} \cdot U \quad \text{mit} \quad k = 0,1,...,N-1$$
elektrische Feldstärke zwischen den

Maximal-Feldstärke zwischen den Wickeln k und k+1 direkt am Wickel k

$$E_{k,\max} = E_k(r = r_k) = \frac{U}{\sum_{j=0}^{N-1} \left[ \frac{1}{\ell_{j+1}} \cdot \ln\left(\frac{r_{j+1}}{r_j}\right) \right]} \cdot \frac{1}{r_k \cdot \ell_{k+1}}$$

# Dimensionierung von Kondensatordurchführungen (I)



#### Forderung:

konstante Maximalfeldstärke  $E_{max}$  in radialer Richtung für alle Aluminiumwickel

$$E_{\text{max}} = \frac{U}{\sum_{j=0}^{N-1} \left[ \frac{1}{\ell_{j+1}} \cdot \ln \left( \frac{r_{j+1}}{r_j} \right) \right]} \cdot \frac{1}{r_k \cdot \ell_{k+1}}$$
$$= U \cdot \frac{C}{2\pi \cdot \varepsilon_0 \cdot \varepsilon_r} \cdot \frac{1}{r_k \cdot \ell_{k+1}}$$

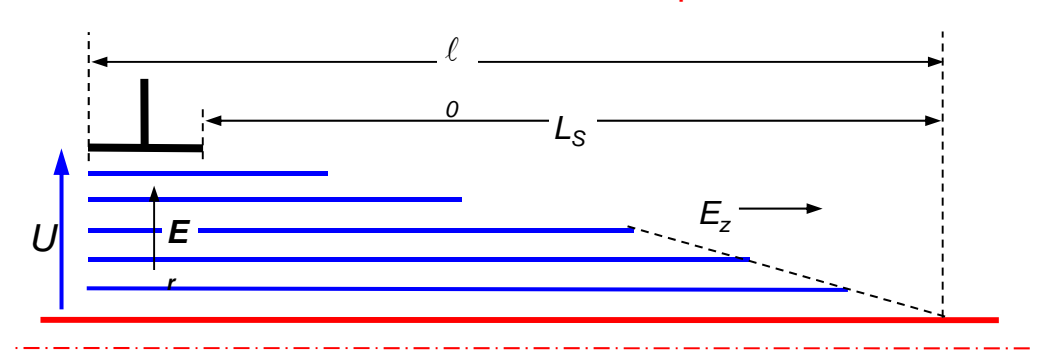
oder

$$\frac{1}{r_k \cdot \ell_{k+1}} = const. \quad \text{und damit}$$

$$r_k \cdot \ell_{k+1} = const.$$
 mit  $k = 0,1,...,N-1$ 

<u>Problem:</u> nichtlineare Spannungsverteilung entlang der Oberfläche des Papierwickels, elektrische Festigkeit ist aber an Oberflächen meist geringer

<u>Deshalb:</u> Oft strebt man eine lineare Spannungsverteilung an der Oberfläche des Papierwickels an



$$\Delta U = \frac{1}{\Delta C} \cdot C \cdot U = \frac{C \cdot U}{2\pi \cdot \varepsilon_0 \cdot \varepsilon_r} \cdot \frac{\ln\left(\frac{r + \Delta r}{r}\right)}{\ell} = \frac{C \cdot U}{2\pi \cdot \varepsilon_0 \cdot \varepsilon_r} \cdot \frac{\ln\left(1 + \frac{\Delta r}{r}\right)}{\ell}$$

$$C_{k} = 2\pi \cdot \varepsilon_{0} \cdot \varepsilon_{r} \cdot \frac{\ell_{k}}{\ln\left(\frac{r_{k+1}}{r_{k}}\right)} \qquad \qquad \lim \left(1 + \frac{\Delta r}{r}\right) \approx \frac{\Delta r}{r} \qquad \frac{C \cdot U}{2\pi \cdot \varepsilon_{0} \cdot \varepsilon_{r}} \cdot \frac{\Delta r}{\ell \cdot r}$$

Grenzübergang  $\Delta U \rightarrow dU$ ,  $\Delta r \rightarrow dr$  und  $\Delta \ell \rightarrow d\ell$ ,

$$dU = \frac{1}{dC} \cdot C \cdot U \approx \frac{C \cdot U}{2\pi \cdot \varepsilon_0 \cdot \varepsilon_r} \cdot \frac{dr}{\ell \cdot r}$$

# Dimensionierung von Kondensatordurchführungen (II)



$$dU = \frac{1}{dC} \cdot C \cdot U \approx \frac{C \cdot U}{2\pi \cdot \varepsilon_0 \cdot \varepsilon_r} \cdot \frac{dr}{\ell \cdot r}$$

$$E_r = \frac{dU}{dr} = \frac{C \cdot U}{2\pi \cdot \varepsilon_0 \cdot \varepsilon_r} \cdot \frac{dr}{\ell \cdot r} \cdot \frac{1}{dr} = \frac{C \cdot U}{2\pi \cdot \varepsilon_0 \cdot \varepsilon_r} \cdot \frac{1}{\ell \cdot r}$$

$$E_{z} = -\frac{dU}{d\ell} = -\frac{C \cdot U}{2\pi \cdot \varepsilon_{0} \cdot \varepsilon_{r}} \cdot \frac{dr}{\ell \cdot r} \cdot \frac{1}{d\ell}$$
$$= -\frac{C \cdot U}{2\pi \cdot \varepsilon_{0} \cdot \varepsilon_{r}} \cdot \frac{1}{\ell \cdot r} \cdot \frac{dr}{d\ell}$$

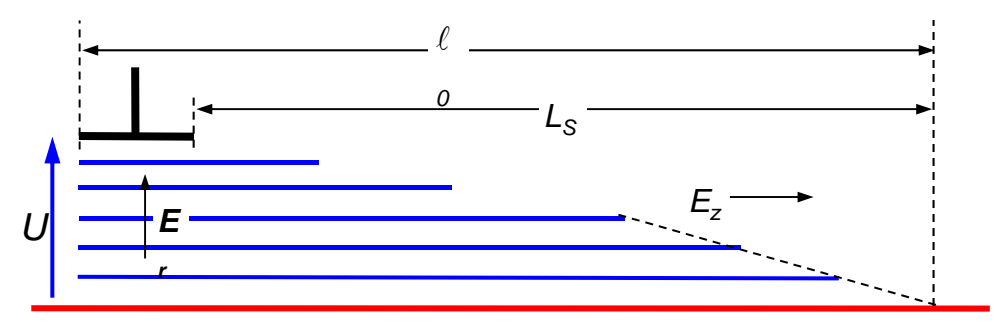
Die Forderung  $E_z = const. = \frac{U}{L_z}$ 

führt über Trennung der Variablen

$$-\frac{C \cdot L_{S}}{2\pi \cdot \varepsilon_{0} \cdot \varepsilon_{r}} \cdot \frac{dr}{r} = \ell \cdot d\ell$$

und Integration von (äußerer Erdbelag:  $\ell_N$ ,  $r_N$ )

$$-\frac{C \cdot L_{S}}{2\pi \cdot \varepsilon_{0} \cdot \varepsilon_{r}} \cdot \int_{r_{N}}^{r} \frac{dr}{r} = \int_{\ell_{N}}^{\ell} \ell \cdot d\ell$$



auf die Lösung

$$\frac{C \cdot L_{S}}{2\pi \cdot \varepsilon_{0} \cdot \varepsilon_{r}} \cdot \ln \left(\frac{r_{N}}{r}\right) = \frac{1}{2} \left(\ell^{2} - \ell_{N}^{2}\right)$$

Gesamte Kapazität C der Anordnung: Integration bis  $C = \frac{\pi \cdot \varepsilon_0 \cdot \varepsilon_r}{L_S \cdot \ln \left(\frac{r_N}{r_s}\right)} \cdot \left(\ell_0^2 - \ell_N^2\right)$  zum Radius  $r_0$  und zur Länge  $\ell_0$ 

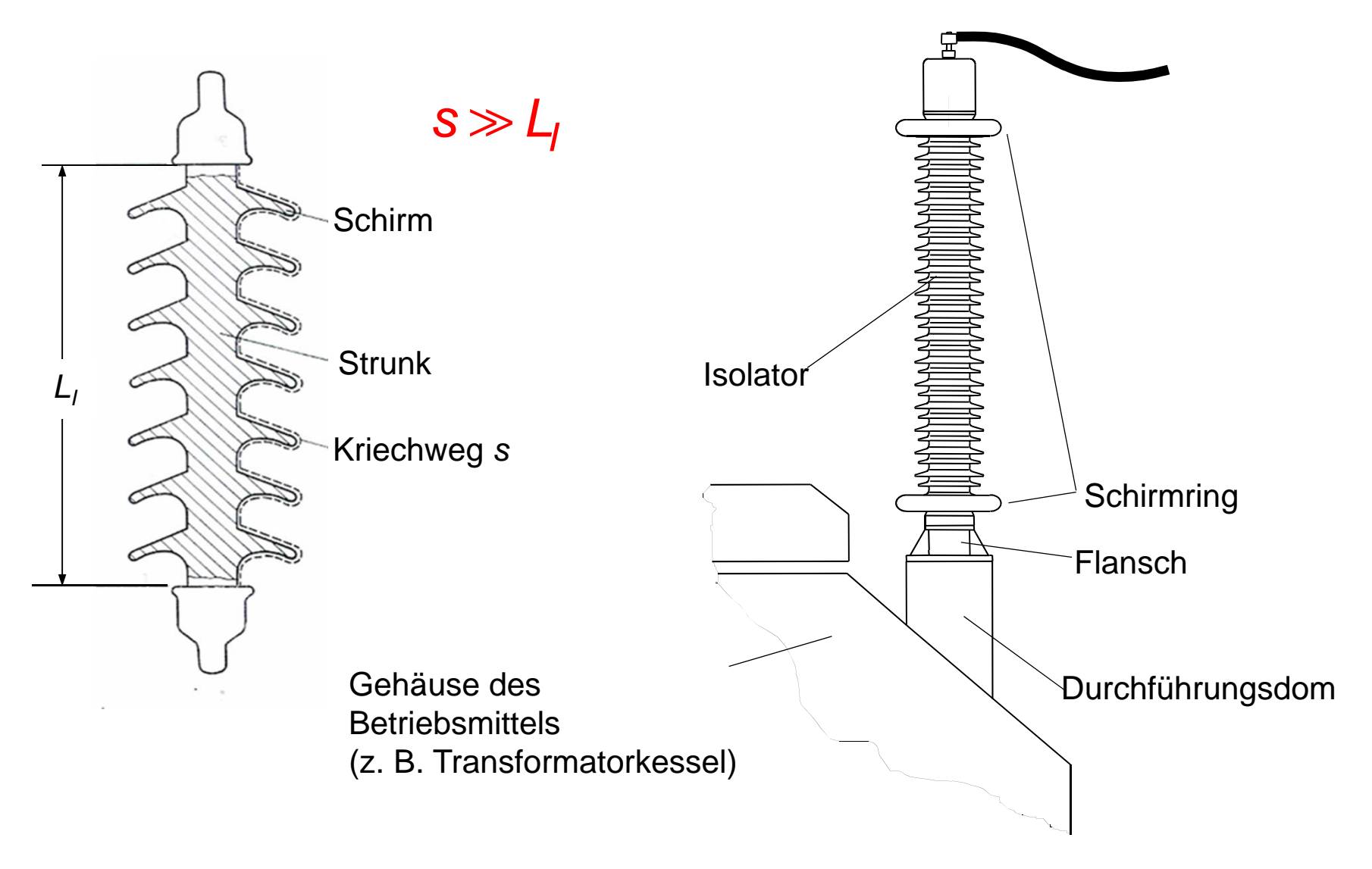
$$C = \frac{\pi \cdot \varepsilon_0 \cdot \varepsilon_r}{L_S \cdot \ln\left(\frac{r_N}{r_0}\right)} \cdot \left(\ell_0^2 - \ell_N^2\right)$$

Längen  $\ell$  der Wickel abhängig von deren Radien r

$$\ell = \sqrt{\ell_N^2 + \left(\ell_0^2 - \ell_N^2\right) \cdot \frac{\ln\left(\frac{r_N}{r}\right)}{\ln\left(\frac{r_N}{r_0}\right)}}$$

# Äußerer Isolator von Durchführungen





#### Beanspruchung von Isolationssystemen mit Mischdielektrika



# Bedingungen für D (dielektrische Verschiebung) und E (elektrische Feldstärke) an Grenzflächen

$$E_{t2} = E_{t1}$$

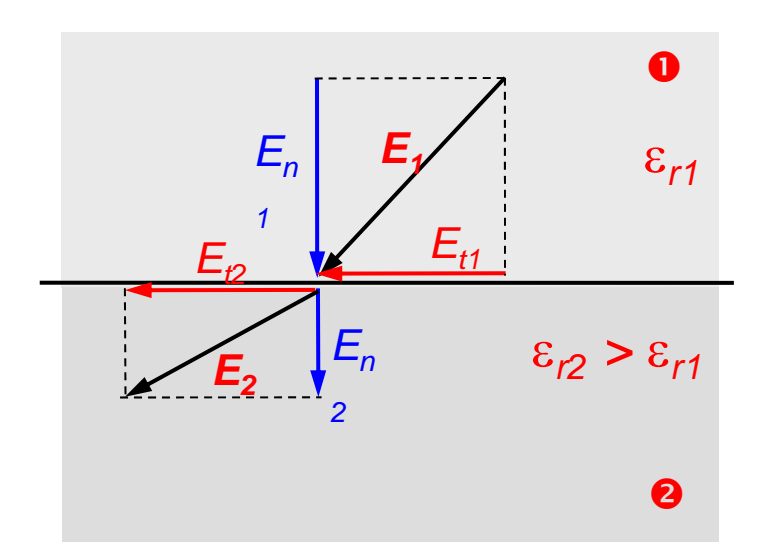
$$D_{n2} = D_{n1} + \sigma$$

Tangentialkomponente der elektrischen Feldstärke ist stetig

Normalkomponente der dielektrischen Verschiebung ist stetig, falls keine freien Ladungen vorliegen, ansonsten springt sie um die Flächenladung  $\sigma$ 

ohne freie Ladungen

$$E_{n2} = \frac{\varepsilon_{r1}}{\varepsilon_{r2}} \cdot E_{n1} + \frac{\sigma}{\varepsilon_{r2}} = \frac{\varepsilon_{r1}}{\varepsilon_{r2}} \cdot E_{n1}$$



# Quer geschichtete Dielektrika bei Gleich- und Wechselspannung



#### Bei Wechselspannung:

#### Spannungsaufteilung wird durch die Dielektrizitätszahlen bestimmt

Aus der Anordnung und der Grenzbedingung:

$$U=U_1+U_2$$

$$E_{n1} = \frac{U_1}{a}$$

$$E_{n2} = \frac{U_2}{b}$$

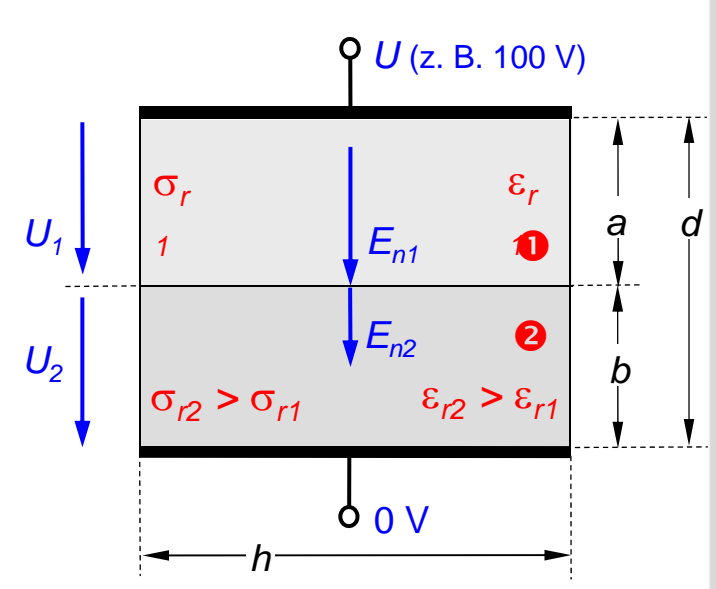
$$U = U_1 + U_2$$
  $E_{n1} = \frac{U_1}{a}$   $E_{n2} = \frac{U_2}{b}$   $E_{n2} = \frac{\varepsilon_{r1}}{\varepsilon_{r2}} \cdot E_{n1}$ 

Daraus: 
$$E_{n1} = \frac{\varepsilon_{r2}}{\varepsilon_{r2} \cdot a + \varepsilon_{r1} \cdot b} \cdot U$$
  $E_{n2} = \frac{\varepsilon_{r1}}{\varepsilon_{r2} \cdot a + \varepsilon_{r1} \cdot b} \cdot U$ 

$$E_{n2} = \frac{\varepsilon_{r1}}{\varepsilon_{r2} \cdot a + \varepsilon_{r1} \cdot b} \cdot U$$

$$U_1 = \frac{\varepsilon_{r2} \cdot a}{\varepsilon_{r2} \cdot a + \varepsilon_{r1} \cdot b} \cdot U$$

$$U_1 = \frac{\varepsilon_{r2} \cdot a}{\varepsilon_{r2} \cdot a + \varepsilon_{r1} \cdot b} \cdot U \qquad U_2 = \frac{\varepsilon_{r1} \cdot b}{\varepsilon_{r2} \cdot a + \varepsilon_{r1} \cdot b} \cdot U$$



Feldstärken in den beiden Dielektrika in umgekehrtem Verhältnis zu den Dielektrizitätszahlen  $\varepsilon_{r1}$  und  $\varepsilon_{r2}$ 

beim Verhältnis der Spannungen spielt zusätzlich die Geometrie (Abstände) eine Rolle

$$\frac{E_{m1}}{E_{n2}} = \frac{\varepsilon_{r2}}{\varepsilon_{r1}} \qquad \frac{U_1}{U_2} = \frac{\varepsilon_{r2}}{\varepsilon_{r1}} \cdot \frac{a}{b}$$

Die elektrische Feldstärke in einem Mischdielektrikum ist bei Beanspruchung mit Wechselspannung in dem Dielektrikum mit der <u>niedrigeren Dielektrizitätszahl</u> am höchsten.

# Quer geschichtete Dielektrika bei Gleich- und Wechselspannung



#### Bei Gleichspannung:

Spannungsaufteilung wird durch die Leitfähigkeiten (spez. Widerstände) bestimmt

Aus der Anordnung:  $U = U_1 + U_2$   $J_1 = \sigma_1 \cdot E_{n1}$   $J_2 = \sigma_2 \cdot E_{n2}$   $J = J_1 = J_2$   $\frac{E_{n1}}{F_{n2}} = \frac{\sigma_2}{\sigma_1}$ Grenzbedingung:

$$J_1 = \sigma_1 \cdot E_{m1}$$

$$J_2 = \sigma_2 \cdot E_{n2}$$

$$J=J_1=J_2$$

$$\frac{E_{m1}}{E_{m2}} = \frac{\sigma_2}{\sigma_1}$$

$$E_{m1} = \frac{\sigma_2}{\sigma_2 \cdot a + \sigma_1 \cdot b} \cdot U$$

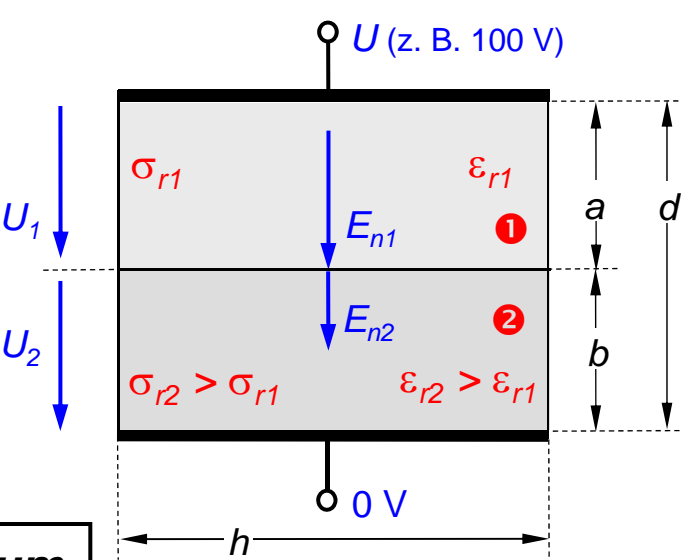
Daraus: 
$$E_{n1} = \frac{\sigma_2}{\sigma_2 \cdot a + \sigma_1 \cdot b} \cdot U$$
  $E_{n2} = \frac{\sigma_1}{\sigma_2 \cdot a + \sigma_1 \cdot b} \cdot U$ 

$$U_1 = \frac{\sigma_2 \cdot a}{\sigma_2 \cdot a + \sigma_1 \cdot b} \cdot U$$

$$U_1 = \frac{\sigma_2 \cdot a}{\sigma_2 \cdot a + \sigma_1 \cdot b} \cdot U \qquad U_2 = \frac{\sigma_1 \cdot b}{\sigma_2 \cdot a + \sigma_1 \cdot b} \cdot U$$

**Damit** 

$$\frac{E_{m1}}{E_{n2}} = \frac{\sigma_2}{\sigma_1} \qquad \frac{U_1}{U_2} = \frac{\sigma_2}{\sigma_1} \cdot \frac{a}{b}$$



Die elektrische Feldstärke in einem Mischdielektrikum ist bei Beanspruchung mit Gleichspannung in dem Dielektrikum mit der <u>niedrigeren Leitfähigkeit</u> (= höchster spezifischer Widerstand) am höchsten

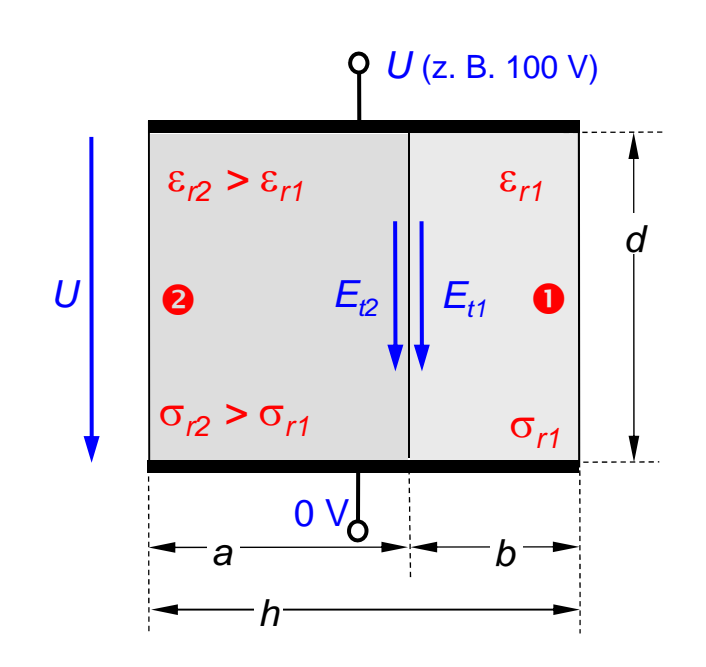
# Längs geschichtete Dielektrika bei Gleich- und Wechselspannung

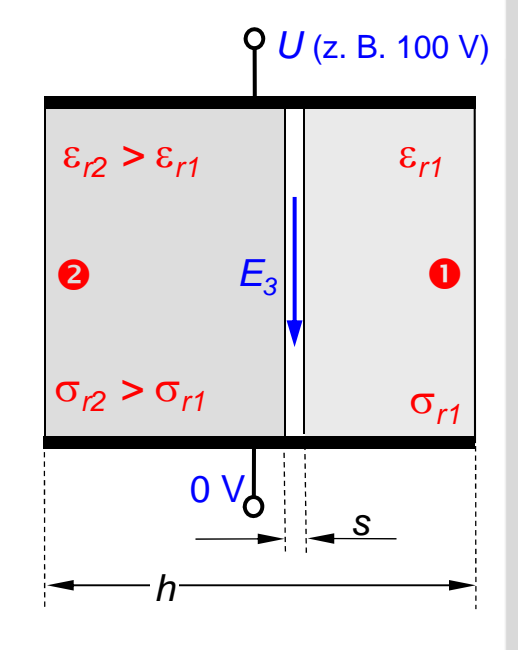


## Keine unterschiedliche Spannungsverteilung wegen

$$E_{t1} = E_{t2} = E = \frac{U}{d}$$

Identische Feldstärke in jedem Dielektrikum





#### **Praxis:**

Besonders kritisch ist die Kombination von 2 Feststoffdielektrika

Grund: sehr leicht kann sich ein Spalt bilden, dieser füllt sich entweder mit einer Isolierflüssigkeit oder mit einem Gas (z. B. Luft)

Probleme: • elektrische Festigkeit von Flüssigkeiten und Gasen ist oft niedriger als die des

**Feststoffs** 

- An Grenzflächen sammeln sich oft Schmutzpartikel
  - ⇒ Reduktion der elektrischen Festigkeit

# **Elektrische Festigkeit**



#### Grundaufgabe der Hochspannungstechnik

elektrische Beanspruchung eines Isoliersystems geringer halten, als seine elektrische Festigkeit

#### Elektrischer Durchschlag ist ein statistisches Phänomen

- ⇒ Durchschlagspannung variiert von Versuch zu Versuch
- ⇒ Durchschlagspannung (Zeit bis zum Durchschlag bei fester Spannung) wird als Zufallsgröße betrachtet

#### <u>Spannungssteigerungsversuch</u>

Spannung an der Isolieranordnung (z. B. Wechselspannung) wird langsam so lange gesteigert, bis ein Durchschlag auftritt

- ⇒ theoretisch unendlich hohe Anzahl von Versuchen notwendig, daraus kann bestimmt werden
- Spannung, bis zu der sicher kein Durchschlag auftritt (Durchschlag-Wahrscheinlichkeit 0%)
- Spannung, über der mit Sicherheit ein Durchschlag auftritt (DWK 100%)

unendlich viele Versuche nicht möglich ⇒ statistische Verfahren

# Statistische Untersuchung der Spannungsfestigkeit

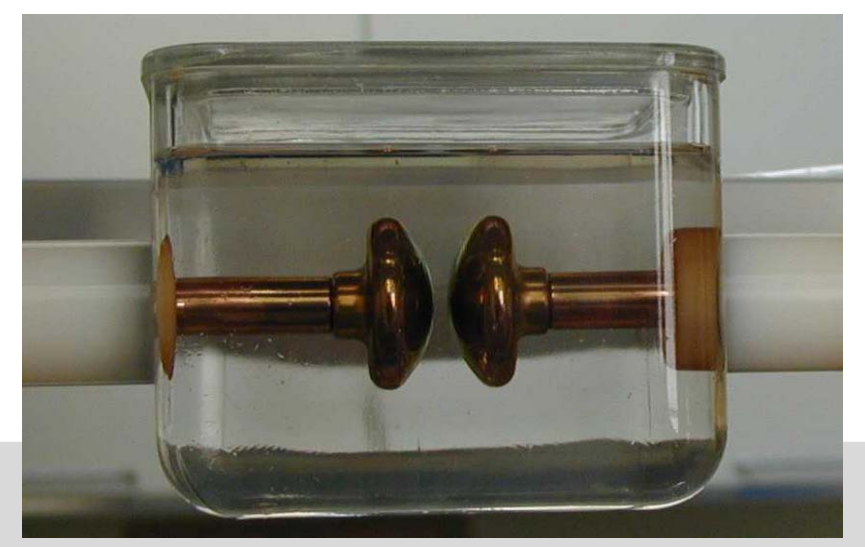


Aus der Gesamtheit aller (fiktiv) durchgeführten Durchschlagversuche wird eine Stichprobe mit dem Umfang *N* herausgenommen

statistische Unabhängigkeit aufeinander folgender Versuche muss sichergestellt sein

#### Beispiel: Öldurchschlag

zwischen den Elektroden bilden sich beim Durchschlag leitfähige Schlieren, vor dem nächsten Versuch müssen sie entfernt werden



#### **Stichprobe**

aus einer Anzahl von *N* Durchschlagversuchen Prüfung der statistischen Unabhängigkeit

#### **Empirische Verteilungsfunktion**

Ordnung der Stichprobe und Bestimmung der absoluten und relativen Summenhäufigkeit

#### Theoretische Verteilungsfunktion

Auswahl einer geeigneten theoretischen Verteilungsfunktion Bestimmung der Parameter dieser Funktion (Parameterschätzung)

#### **Vertrauensintervall (Konfidenzintervall)**

Vorgabe eines Vertrauensbereichs (z. B. 90 %) Angabe einer geschätzten Stehspannung, z. B. als 1-%-Durchschlagspannung mit 90% Vertrauensintervall

# Beispiel: Stichprobe und empirische Verteilungsfunktion



**Stichprobe:** aus eine Anzahl von N Durchschlagversuchen

Ergebnisse der Durchschlagversuche:

 $U_D/kV = 102$ ; 100; 107; 98; 95; 100; 104; 99; 92; 102; 103; 99; 97; 95; 101; 104; 98; 94; 100.

#### **Empirische Verteilungsfunktion**

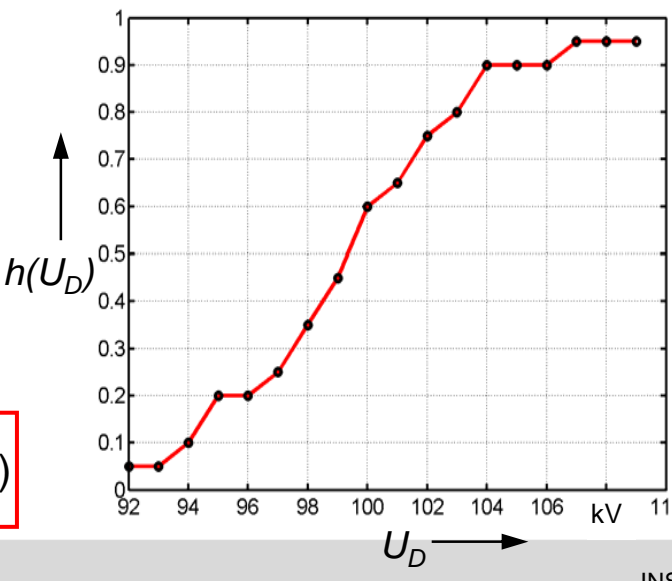
Ordnung der Stichprobe und Bestimmung der absoluten und relativen Summenhäufigkeit

absolute Summenhäufigkeit  $H(U_D \le U_{Di})$  beschreibt, wie oft eine Durchschlagspannung  $U_D$  kleiner oder gleich einem bestimmten Wert  $U_{Di}$  gemessen wurde

# Empirische Verteilungsfunktion:

 $H(U_D \le U_{Di})$  bezogen auf N+1, N= Anzahl der Durchschlagversuche

$$h(x) = h(U_D) = \frac{1}{N+1} \cdot H(U_D \le U_{Di})$$



Spannun	absolute	Summenhäufigkeit		
g in kV	Häufigkeit	absolut	relativ	
92	1	1	0,05	
93	0	1	0,05	
94	1	2	0,1	
95	2	4	0,2	
96	0	4	0,2	
97	1	5	0,25	
98	2	7	0,35	
99	2	9	0,45	
100	3	12	0,6	
101	1	13	0,65	
102	2	15	0,75	
103	1	16	0,8	
104	2	18	0,9	
105	0	18	0,9	
106	0	18	0,9	
107	1	19	0,95	
108	0	19	0,95	
109	0	19	0,95	

 $h(x) = h(U_D)$ 

# Theoretische Verteilungsfunktionen und Parameter



#### Theoretische Verteilungsfunktion

Auswahl einer geeigneten theoretischen Verteilungsfunktion, Bestimmung der Parameter dieser Funktion (Parameterschätzung)

#### Mittelwert oder Erwartungswert

empirischer Schätzwert für den Erwartungswert μ: ist der arithmetische Mittelwert  $x_m$  der N Einzelmessungen  $x_k$ 

$$\mu \approx X_m = \frac{1}{N} \cdot \sum_{k=1}^{N} X_k$$

empirische Varianz und empirische Standardabweichung Schätzung für die Varianz  $\sigma^2$ : empirische Varianz  $s_m^2$ beschreibt als mittlere quadratische Abweichung die Abweichung

Schätzung für die Varianz 
$$\sigma^2$$
: empirische Varianz  $s_m^2$  beschreibt als mittlere quadratische Abweichung die Abweichung aller Einzelwerte  $x_k$  der Zufallsgröße  $X$  von ihrem Erwartungswert  $\mu = E(X) \approx x_m$ 

$$\sigma^2 \approx s_m^2 = \frac{1}{N-1} \cdot \sum_{k=1}^{N} (x_k - x_m)^2$$

$$\sigma \approx s = \sqrt{s_m^2} = \sqrt{\frac{1}{N-1} \cdot \sum_{k=1}^{N} (x_k - x_m)^2}$$

s: empirische Standardabweichung

2 wichtige Verteilungsfunktionen:

- die Gauß'sche Normalverteilung und
- die Weibull-Verteilung.

# **Beispiel: Gauß'sche Normalverteilung**



Verteilungsfunktion F(x) ist das Integral der Dichtefunktion f(x), F(x) ist nicht geschlossen lösbar

$$f(x) = \frac{1}{\sigma \cdot \sqrt{2\pi}} \cdot e^{\frac{(x-\mu)^2}{2\sigma^2}} \quad \text{und} \quad F(x) = \int_{-\infty}^{x} f(x) dx = \int_{-\infty}^{x} \frac{1}{\sigma \cdot \sqrt{2\pi}} \cdot e^{\frac{(x-\mu)^2}{2\sigma^2}} dx$$

Х	μ-4,0·σ	μ-3,5⋅σ	μ-3,0⋅σ	μ-2,5·σ	μ-2,0·σ	μ-1,5⋅σ	μ-1,0·σ	μ-0,5·σ
F(x)	0,00003	0,00023	0,00135	0,00621	0,0228	0,0668	0,1587	0,3085

$$x = \mu$$
:  $F(x) = 0.5$   $x = \mu + 0.33 \cdot \sigma$ :  $F(x) = 0.6293 \approx 0.63$   $x = \mu - 2.326 \cdot \sigma$ :  $F(x) = 0.01$ 

Х	μ+4,0⋅σ	μ+3,5⋅σ	μ+3,0⋅σ	μ+2,5⋅σ	μ+2,0⋅σ	μ+1,5⋅σ	μ+1,0⋅σ	μ+0,5⋅σ
F(x)	0,99997	0,99977	0,99865	0,99379	0,9772	0,9332	0,8413	0,6915

#### Eigenschaft der Gauß'schen Normalverteilung:

symmetrisch bezüglich des Mittelwertes und unendlich ausgedehnt

#### demgegenüber:

unterhalb einer bestimmten Spannung erfolgt kein Durchschlag mehr, nach oben sichere Durchschlagspannung

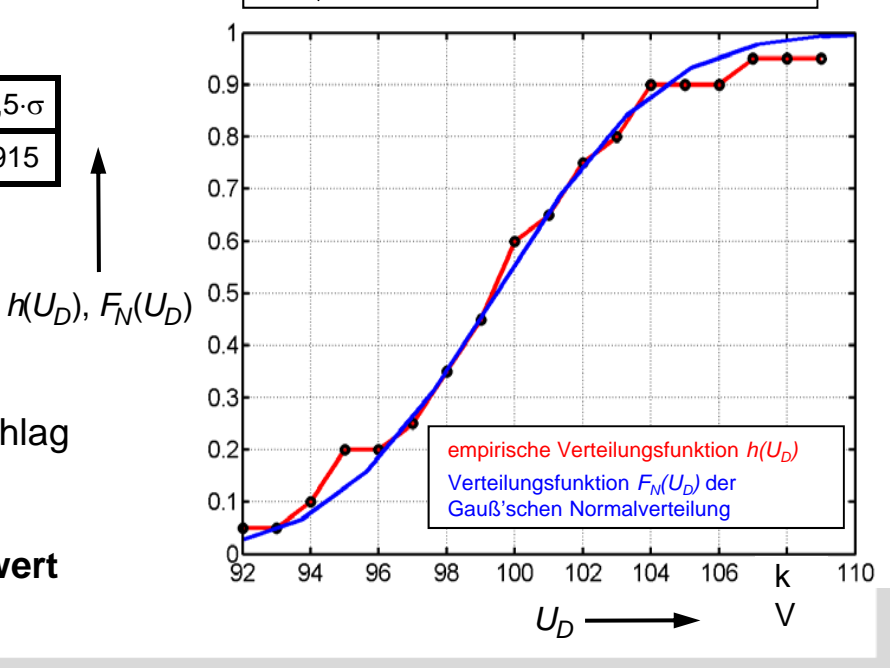
$$F(\mu-3,0\cdot\sigma) = 0,135 \%$$

 $U_{D0}$  = 88 kV: Orientierungswert für die Stehspannung  $U_{D0}$ 

## Beispiel:

$$x_{m} = \frac{1}{N} \cdot \sum_{k=1}^{N} x_{k} = 99,47 \,\text{kV} \approx \mu$$

$$s = \sqrt{\frac{1}{N-1} \cdot \sum_{k=1}^{N} (x_{k} - x_{m})^{2}} = 3,82 \,\text{kV} \approx \sigma$$



# **Beispiel: Weilbull-Verteilung (I)**



#### Weilbull-Verteilung ist eine nach unten beschränkte Extremwertverteilung

- ⇒ eignet sich besonders für Durchschlagvorgänge für die eine untere Stehspannung angenommen werden kann
- $\Rightarrow$  F(x) enthält die 3 Parameter  $x_{63}$ ,  $x_0$  und  $\delta$ , berechnet werden müssen
  - entweder aus empirischer Verteilungsfunktion
  - oder aus Gauß'scher Normalverteilung

$$x_{63} = \mu + 0.33 \cdot \sigma \approx x_m + 0.33 \cdot s = x_m + 0.33 \cdot \sqrt{s_m^2}$$
$$x_0 = \mu - 3 \cdot \sigma \approx x_m - 3 \cdot s = x_m - 3 \cdot \sqrt{s_m^2}$$

35

$$F(x) = \begin{cases} 1 - e^{-\left(\frac{x - x_0}{x_{63} - x_0}\right)^{\delta}} & \text{für } x \ge x_0 \\ 0 & \text{für } x < x_0 \end{cases}$$

#### Beispiel:

 $U_{D63} = 100,73 \text{ kV und } U_{D0} = 88 \text{ kV}$ 

Bestimmung des Exponenten  $\delta$ : empirische Verteilungsfunktion h(x) wird als Annäherung für F(x) verwendet

$$h(x) \approx F(x) = 1 - e^{-\left(\frac{x - x_0}{x_{63} - x_0}\right)^{\delta}} \qquad \begin{cases} \frac{\left(\frac{x - x_0}{x_{63} - x_0}\right)^{\delta} = -\ln[1 - h(x)]}{\left(\frac{x - x_0}{x_{63} - x_0}\right)} = -\ln[1 - h(x)] \end{cases} \qquad \delta = \frac{H(Z)}{Z} = \frac{\lg\left\{-\ln[1 - h(U_D)]\right\}}{\lg\left(\frac{U_D - U_{D0}}{U_{D63} - U_{D0}}\right)}$$

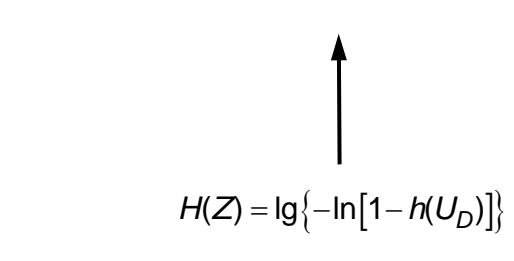
$$\delta = \frac{H(Z)}{Z} = \frac{\lg\{-\ln[1 - h(U_D)]\}}{\lg\left(\frac{U_D - U_{D0}}{U_{D63} - U_{D0}}\right)}$$

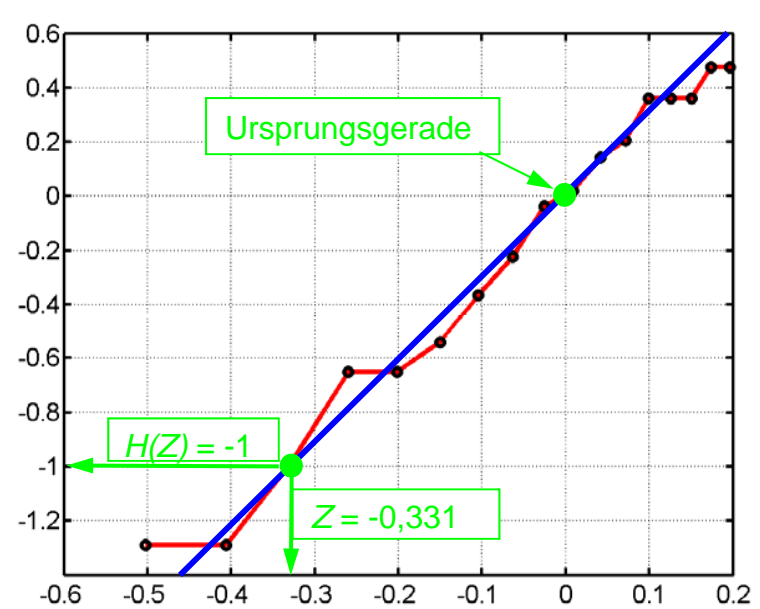
# **Beispiel: Weilbull-Verteilung (II)**

## Beispiel:

$$U_{D63}$$
 = 100,73 kV und  $U_{D0}$  = 88 kV

$$\delta = \frac{H(Z)}{Z} = \frac{\lg\{-\ln[1 - h(U_D)]\}}{\lg\left(\frac{U_D - U_{D0}}{U_{D63} - U_{D0}}\right)}$$





$$Z = \lg \left( \frac{U_D - U_{D0}}{U_{D63} - U_{D0}} \right) \longrightarrow$$



 $\delta = \frac{H(Z)}{Z}$  ist eine Ursprungsgerade

⇒ ein weiterer Punkt genügt

z. B.: 
$$\delta = \frac{H(Z)}{Z} = \frac{-1}{-0.331} = 3.02$$

(jeder andere Punkt wäre möglich)

#### Konfidenzintervalle



theoretische Verteilungsfunktion F(x) ist nur eine Annäherung an die unbekannte Verteilungsfunktion

⇒ Definition von Vertrauensbereichen (Konfidenzintervalle), in denen die Verteilungsfunktion mit einer vorgebbaren Wahrscheinlichkeit (z. B. 90 %) liegt

X (die Durchschlagspannung) ist eine normalverteilte Zufallsvariable mit unbekanntem Mittelwert  $\mu$  und unbekannter Varianz  $\sigma^2$ 

Zur Berechnung der Vertrauensintervalle sind die Zufallsgrößen T und Z maßgebend

$$T = \frac{X^* - \mu}{S/\sqrt{N}}$$

$$T = \frac{X^* - \mu}{S/\sqrt{N}}$$
 
$$Z = (N-1) \cdot \frac{S^2}{\sigma^2}$$

X\*: Schätzfunktion für den unbekannten Mittelwert μ

S: ist die Schätzfunktion für die unbekannte Varianz  $\sigma^2$  der Zufallsvariablen X

T: verteilt gemäß der t-Verteilung nach Student

Z: verteilt gemäß der Chi-Quadrat-Verteilung, jeweils mit f = N-1 Freiheitsgraden

## Konfidenzintervall für den unbekannten Mittelwert µ



- 1. Wahl eines Vertrauensniveaus  $\gamma$ , z. B.  $\gamma = 0.9$ ,  $\gamma = 0.95$  oder  $\gamma = 0.99$
- 2. Berechnung der Konstanten c aus der Bedingung

$$P(-c \le T \le c) = \gamma$$

aus der t-Verteilung nach Student entnimmt man dazu den Wert

$$c = t(\frac{1+\gamma}{2}, N-1)$$

3. Das Vertrauensintervall für den unbekannten Mittelwert  $\mu$  lautet dann

$$X_m - C \cdot \frac{S}{\sqrt{N}} \le \mu \le X_m + C \cdot \frac{S}{\sqrt{N}}$$
  $X_m = \frac{1}{N} \cdot \sum_{k=1}^{N} X_k$   $S = \sqrt{S_m^2} = \sqrt{\frac{1}{N-1} \cdot \sum_{k=1}^{N} (x_k - x_m)^2}$ 

#### **Beispiel:**

Stichprobenumfang von N = 19 und ein 90-%-Vertrauensintervall

$$c = t(0,95;18) = 1,734$$

$$99,47kV - 1,52kV = 97,95kV \le \mu \le 100,99kV = 99,47kV + 1,52kV$$

f	0,90	0,95	p 0,975	0,99	0,995
1	3,078	6,314	12,707	31,820	63,654
2	1,886	2,920	4,303	6,965	9,925
3	1,638	2,353	3,182	4,541	5,841
4	1,533	2,132	2,776	3,747	4,604
5	1,476	2,015	2,571	3,365	4,032
6	1,440	1,943	2,447	3,143	3,707
7	1,415	1,895	2,365	2,998	3,499
8	1,397	1,860	2,306	2,896	3,355
9	1,383	1,833	2,262	2,821	3,250
10	1,372	1,812	2,228	2,764	3,169
11	1,363	1,796	2,201	2,718	3,106
12	1,356	1,782	2,179	2,681	3,055
13	1,350	1,771	2,160	2,650	3,012
14	1,345	1,761	2,145	2,624	2,977
15	1,341	1,753	2,131	2,602	2,947
16	1,337	1 746	2,120	2,583	2,921
17	1,333	1,740	2,110	2,567	2,898
18	1,330	1,734	2,101	2,552	2,878
19	1,328	1,729	2,093	2,539	2,861
20	1,325	1,725	2,086	2,528	2,845
22	1,321	1,717	2,074	2,508	2,819
24	1,318	1,711	2,064	2,492	2,797
26	1,315	1,706	2,056	2,479	2,779
28	1,313	1,701	2,048	2,467	2,763
30	1,310	1,697	2,042	2,457	2,750
40	1,303	1,684	2,021	2,423	2,704
50	1,299	1,676	2,009	2,403	2,678
60	1,296	1,671	2,000	2,390	2,660
100	1,290	1,660	1,984	2,364	2,626
200	1,286	1,653	1,972	2,345	2,601
500	1,283	1,648	1,965	2,334	2,586
8	: 1,282	: 1,645	: 1,960	2,326	: 2,576
w	1,202	1,043	1,900	2,320	2,370

#### Konfidenzintervall für die unbekannte Varianz $\sigma^2$



- 1. Wahl eines Vertrauensniveaus  $\gamma$ , z. B.  $\gamma = 0.9$ ,  $\gamma = 0.95$  oder  $\gamma = 0.99$
- 2. Berechnung der Konstanten  $c_1$  und  $c_2$  aus der Bedingung

$$P(-c_1 \le Z \le c_2) = \gamma$$

aus der Chi-Quadrat-Verteilung entnimmt man die Werte

$$c_1 = z(\frac{1-\gamma}{2}, N-1)$$
  $c_2 = z(\frac{1+\gamma}{2}, N-1)$ 

3. Das Vertrauensintervall für die unbekannte Varianz  $\sigma^2$  lautet dann

$$(N-1)\cdot\frac{s_m^2}{c_2} \leq \sigma^2 \leq (N-1)\cdot\frac{s_m^2}{c_1}$$

$$s_m = \sqrt{\frac{1}{N-1} \cdot \sum_{k=1}^{N} (x_k - x_m)^2}$$

$$x_m = \frac{1}{N} \cdot \sum_{k=1}^{N} x_k$$

#### **Beispiel:**

Stichprobenumfang von N = 19 und ein 90-%-Vertrauensintervall

$$c_1 = \chi^2(0,05;18) = 9,39$$

$$c_2 = \chi^2(0.95;18) = 28.87$$

$$c_2 = \chi^2(0.95;18) = 28.87$$
  $9.1kV \le \sigma^2 \le 27.97kV$ 

						p				
f	0,005	0,01	0,025	0,05	0,10	0,90	0,95	0,975	0,99	0,995
1	0,000	0.000	0,001	0,004	0,016	2,71	3,84	5,02	6,63	7,88
2	0,01	0,020	0,051	0,103	0,211	4,61	5,99	7,38	9,21	10,60
3	0,07	0,115	0,216	0,352	0,584	6,25	7,81	9,35	11,35	12,84
4	0,21	0,297	0,484	0,711	1,064	7,78	9,49	11,14	13,28	14,86
5	0,41	0,554	0,831	1,15	1,16	9,24	11,07	12,83	15,09	16,75
6	0,68	0,872	1,24	1,64	2,20	10,64	12,59	14,45	16,81	18,55
7	0,99	1,24	1,69	2,17	2,83	12,02	14,06	16,01	18,48	20,28
8	1,34	1,65	2,18	2,73	3,49	13,36	15,51	17,53	20,09	21,96
9	1,73	2,09	2,70	3,33	4,17	14,68	16,92	19,02	21,67	23,59
10	2,16	2,56	3,25	3,94	4,87	15,99	18,31	20,48	23,21	25,19
11	2,60	3,05	3,82	4,57	5,58	17,28	19,67	21,92	24,73	26,76
12	3,07	3,57	4,40	5,23	6,30	18,55	21,03	23,34	26,22	28,30
13	3,57	4,11	5,01	5,89	7,04	19,81	22,36	24,74	27,69	29,82
14	4,07	4,66	5,63	6,57	7,79	21,06	23,68	26,12	29,14	31,32
15	4,60	5,23	6,26	7,26	8,55	22,31	25,00	27,49	30,58	32,80
16	5,14	5,81	6,91	7.96	9,31	23,54	26.30	28,85	32,00	34,27
17	5,70	6,41	7,56	8,67	10,09	24,77	27,59	30,19	33,41	35,72
18	6,26	7,01	8,23	9,39	10,86	25,99	28,87	31,53	34,81	37,16
19	6,84	7,63	8,91	10,12	11,65	27,20	30,14	32,85	36,19	38,58
20	7,43	8,26	9,59	10,85	12,44	28,41	31,41	34,17	37,57	40,00
22	8,6	9,5	11,0	12,3	14,0	30,8	33,9	36,8	40,3	42,8
24	9,9	10,9	12,4	13,8	15,7	33,2	36,4	39,4	43,0	45,6
26	11,2	12,2	13,8	15,4	17,3	35,6	38,9	41,9	45,6	48,3
28	12,5	13,6	15,3	16,9	18,9	37,9	41,3	44,5	48,3	51,0
30	13,8	15,0	16,8	18,5	20,6	40,3	43,8	47,0	50,9	53,7
40	20,7	22,2	24,4	26,5	29,1	51,8	55,8	59,3	63,7	66,8
50	28,0	29,7	32,4	34,8	37,7	63,2	67,5	71,4	76,2	79,5
60	35,5	37,5	40,5	43,2	46,5	74,4	79,1	83,3	88,4	92,0
70	43,3	45,4	48,8	51,7	55,3	85,5	90,5	95,0	100,4	104,2
80	51,2	53,5	57,2	60,4	64,3	96,6	101,9	106,6	112,3	116,3
90	59,2	61,8	65,6	69,1	73,3	107,6	113,1	118,1	124,1	128,3
100	67,3	70,1	74,2	77,9	82,4	118,5	124,3	129,6	135,8	140,2

## Berechnung der Konfidenzintervalle für $\mu$ und $\sigma^2$



Stehspannung: z. B. 1-%-Wert der Durchschlagspannung mit 90-%-Vertrauensintervall

#### Stehwert für die Spannung

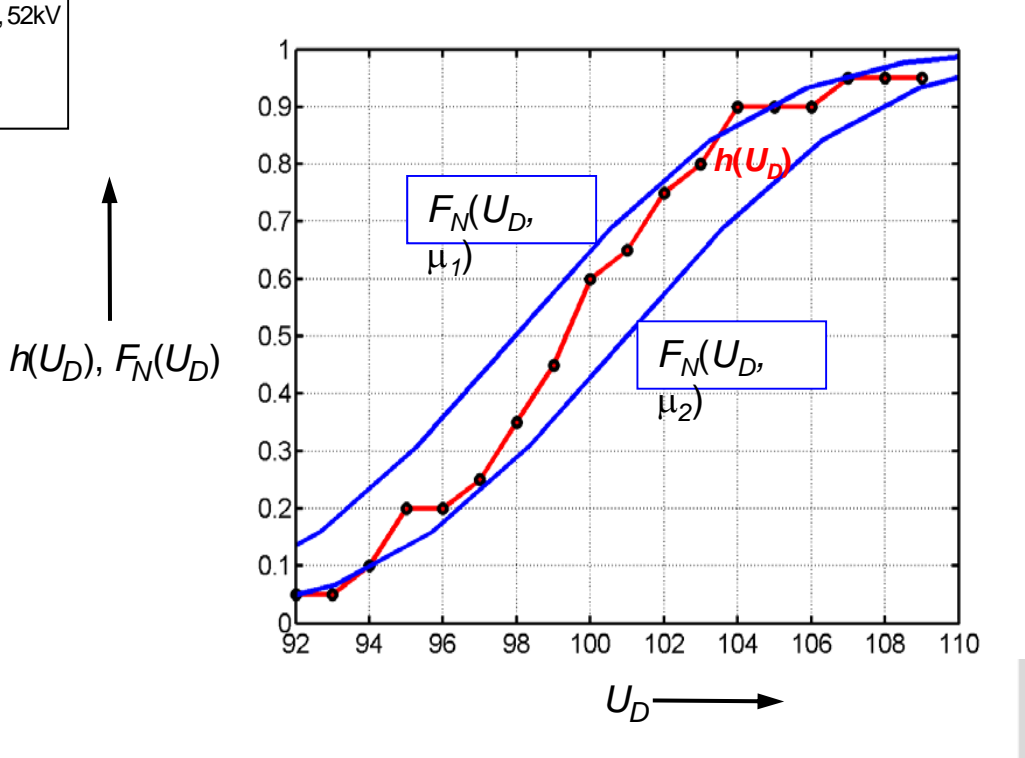
Spannungswert, für den es mit einer nur sehr geringen Wahrscheinlichkeit, z. B. 1 %, zu einem Durchschlag kommt

90-%-Vertrauensintervall: es gilt  $\mu$  = 97,95 kV und  $\sigma$  = 5,29 kV

1-%-Wert der Durchschlagspannung mit 90-%-Vertrauensintervall

$$F(x = \mu - 2,326 \cdot \sigma) = 0,01 = 1\%$$
  
 $U_{D.1\%} = \mu - 2,326 \cdot \sigma$ 

 $U_{D,1\%}$  = 97,95 kV - 2,326·5,29 kV = 85,64 kV



Empirische Verteilungsfunktion  $h(U_D)$  und Gauß'sche Normalverteilung  $F_N$  für  $\sigma^2 = 27,97$  kV sowie  $\mu_1 = 97,95$  kV und  $\mu_2 = 100,99$  kV

## Elektrische Festigkeit von gasförmigen Isolierstoffen

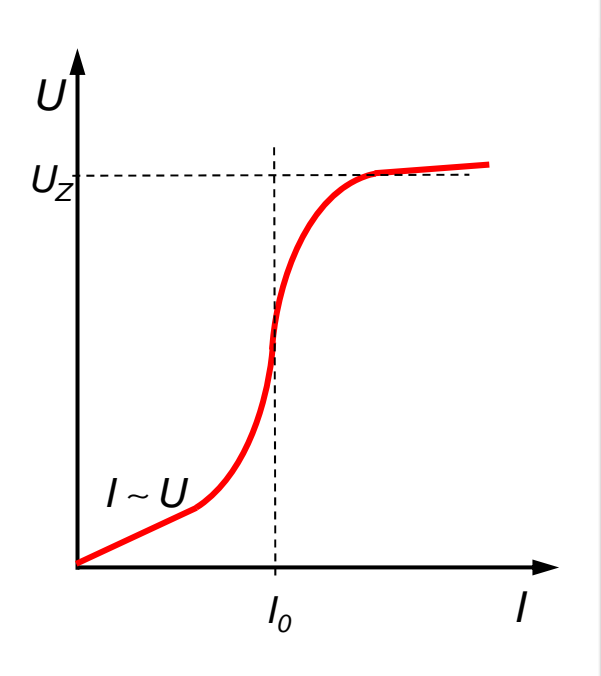


## I/U-Kennlinie, Übergang von der selbständigen zur unselbständigen Entladung

Im Gas entstehen Ladungsträger (Elektronen, positive Ionen):

- Einwirkung von Strahlung (Photoionisation)
- Stoßprozesse aufgrund von Wärmebewegung
   Steigert man die Spannung (elektrische Feldstärke)
   zwischen den Elektroden, so fließt ein Strom

1~U



Alle Ladungsträger, die entstehen, werden durch das elektrische Feld ausgeräumt – bis ein Sättigungsstrom  $I_0$  erreicht wird ( $\Rightarrow$  unselbständige Entladung)

Bei noch weiterer Steigerung des elektrischen Feldes nehmen die Ladungsträger so viel kinetische Energie auf, dass durch Stoßionisation neue Ladungsträger entstehen (⇒ selbständige Entladung)

## Elektrische Festigkeit von gasförmigen Isolierstoffen



#### Soßionisation:

Strom steigt sehr stark an, während die Spannung nahezu konstant bleibt

#### Homogenes Feld:

Erreichen der Zündspannung der Stoßionisation führt sofort zum Durchschlag

$$U_Z = U_d$$

Zündspannung = Durchschlagspannung

#### Inhomogenes Feld:

Erreichen der Zündspannung führt zu einer stabilen Entladung, nicht sofort zum Durchschlag

$$U_Z < U_d$$
  $U_Z = U_E$ 

$$U_7 = U_F$$

Zündspannung = TE-Einsatzspannung

	Homogenes und schwach inho- mogenes Feld	Inhomogenes Feld	Grenzflächen	Hohlräume			
Vorentladungen (Teilentladungen) Entladungen, die nicht unmittelbar zum Durchschlag			Außenleiter  feste Isolation  Innen- leiter	feste Isolation			
(Spannungszusammenbruch) führen.	treten nicht auf, Entladungseinsatz führt unmittelbar zum Durchschlag	Koronaentladungen Äußere Teilent Glimmentladung Büschel- und Stielb (Streamer- und Lea	Hohlraum- Entladung Innere Teil- entladungen (TE) ("Glimmen")				
Durchschlag, Überschlag  Entladung, die eine gut leitfähige Verbindung zwischen den Elektroden herstellt	Durch	schlag	Überschlag	Durchschlag			
und damit zum Zu- sammenbruch der Spannung führt.	Lichtbogen, Bogenentladung (bei thermischem Gleichgewicht) Funken (bei begrenztem Energievorrat der Quelle)  Blitzentladungen Gleitfunken Teilentladungs-						

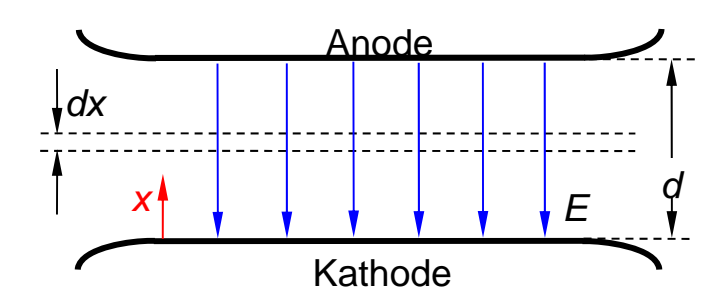
# **Entladungsmechanismen: Generationenmechanismus nach Townsend**

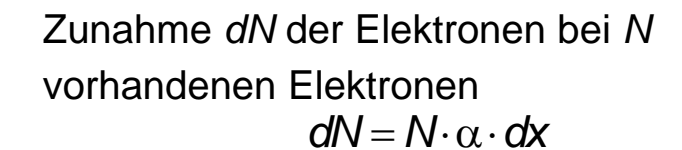


<u>α-Prozess:</u> Anfangselektron (z. B. durch äußere UV-Strahlung)

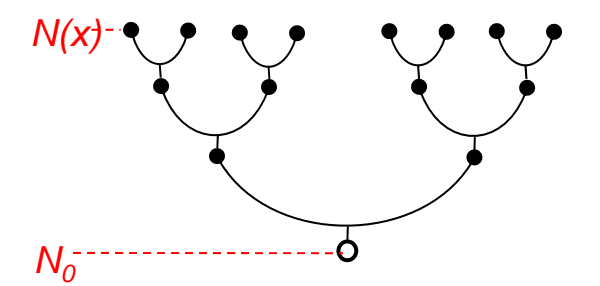
Im elektrischen Feld nimmt es kinetische Energie auf, so lange, bis es beim Stoß mit einem Gasmolekül zur Stoßionisiation kommt

- ⇒ weitere Elektronen, die auch wieder Stoßionisationen hervorrufen
- ⇒ Elektronenlawine





$$N(x) = N_0 \cdot e^{\alpha \cdot x}$$



 $\alpha$ : 1. Townsend'sche Koeffizient im homogenen elektrischen Feld ist  $\alpha$  = const.

*N*<sub>0</sub> Anfangselektronen, Elektrodenabstand *d*:

$$N_1 = N_0 \cdot e^{\alpha \cdot d} - N_0 = N_0 \cdot \left(e^{\alpha \cdot d} - 1\right)$$
 Elektronen werden erzeugt

## Entladungsmechanismen: Generationenmechanismus nach Townsend



<u>γ-Prozess:</u> positive Ionen werden im elektrischen Feld beschleunigt und lösen Sekundärelektronen aus der Kathode aus

N<sub>0</sub> Anfangselektronen, Elektrodenabstand d:

$$N_1 = N_0 \cdot e^{\alpha \cdot d} - N_0 = N_0 \cdot (e^{\alpha \cdot d} - 1)$$
 Elektronen werden erzeugt

γ: Zahl der aus der Kathode herausgelösten Elektronen pro Ionen-Elementarladung

$$N_{sek} = \gamma \cdot N_0 \cdot (e^{\alpha \cdot d} - 1)$$
 Sekundär-Elektronen werden erzeugt

Durchschlag, falls Zahl der Sekundärelektronen  $N_{sek}$  größer als Zahl  $N_0$  der Anfangselektronen

$$N_{\text{sek}} > N_0$$
 und damit  $\gamma \cdot (e^{\alpha \cdot d} - 1) > 1$ 

Zündbedingung nach Townsend im homogenen Feld

$$\alpha \cdot d \ge \ln \left(1 + \frac{1}{\gamma}\right) = k$$

im inhomogenen Feld

$$\int_{x=0}^{d} \alpha(x) \cdot dx \ge \ln\left(1 + \frac{1}{\gamma}\right) = k$$

*k* ist vom Gas und vom Elektrodenmaterial abhängig;

für Luft unter Normaldruck und metallische Elektroden wurde empirisch k = 7 ( $\gamma = 9,13\cdot10^{-4}$ ) ermittelt

#### **Paschen-Gesetz: Theorie**



- Gaskinetik (Stoßvorgänge zwischen Elektronen/Ionen und Molekülen)
- Betrachtung der Bewegung von Ladungsträgern im elektrischen Feld und ihre Energieaufnahme
- Zündbedingung nach Townsend

führt auf

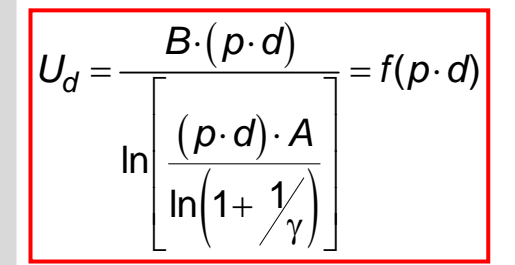
$$\frac{\alpha}{p} = A \cdot e^{\frac{B}{\left(\frac{E}{p}\right)}}$$

$$E \Rightarrow E_d = \frac{U_d}{d}$$

$$\alpha \cdot d \ge \ln\left(1 + \frac{1}{\gamma}\right) = k$$

$$E \Rightarrow E_d = \frac{U_d}{d}$$

$$\alpha \cdot d \ge \ln \left( 1 + \frac{1}{\gamma} \right) = k$$



Luft bei 20 °C:

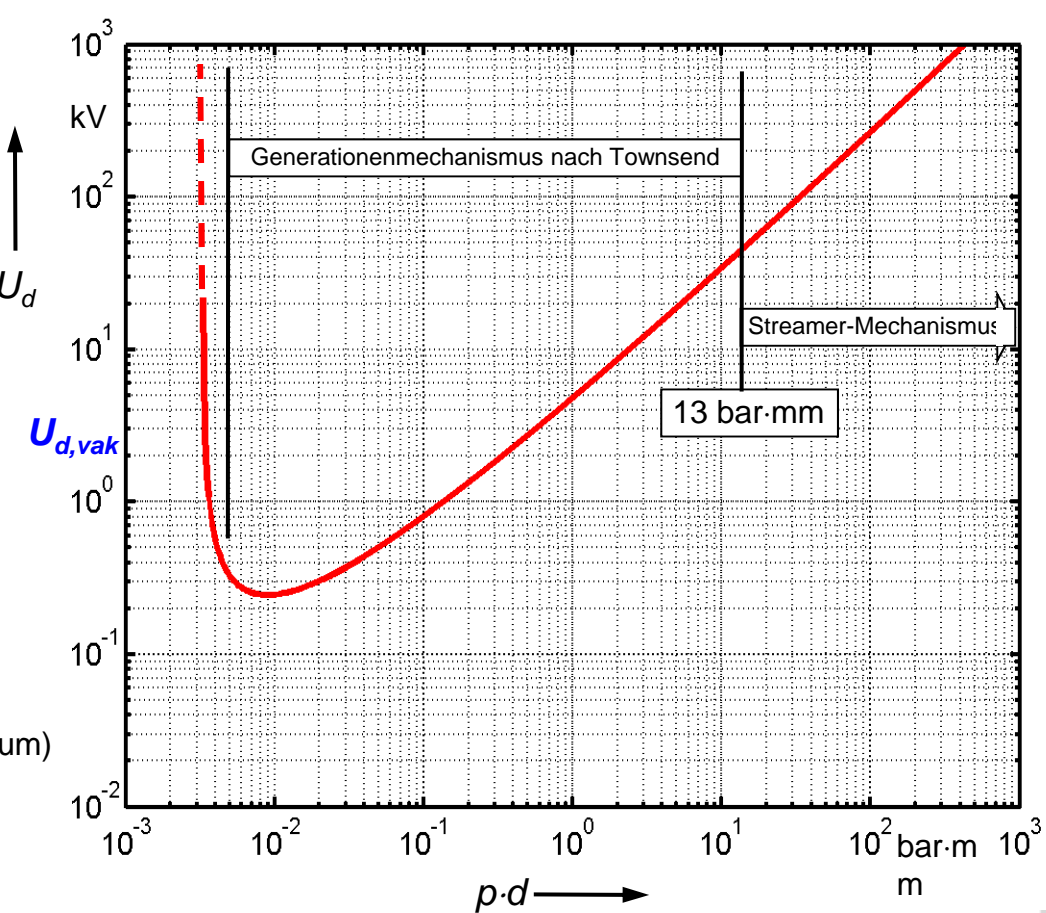
 $A = 1130 \text{ 1/(mm \cdot bar)}$ 

 $B = 27.4 \text{ kV/(mm \cdot bar)}$ 

 $\gamma = 0.035$  (Luft/Aluminium)

 $\gamma = 0.025$  (Luft/Kupfer)

 $\gamma = 0.02$  (Luft/Eisen)



## **Paschen-Gesetz: Vergleich Theorie - Praxis**



#### Theorie:

bei sehr geringen Werten für  $(p \cdot d)$  wird  $U_d$  theoretisch unendlich groß

$$U_{d} = \frac{B \cdot (p \cdot d)}{\ln \left[ \frac{(p \cdot d) \cdot A}{\ln \left(1 + \frac{1}{\gamma}\right)} \right]} = f(p \cdot d)$$

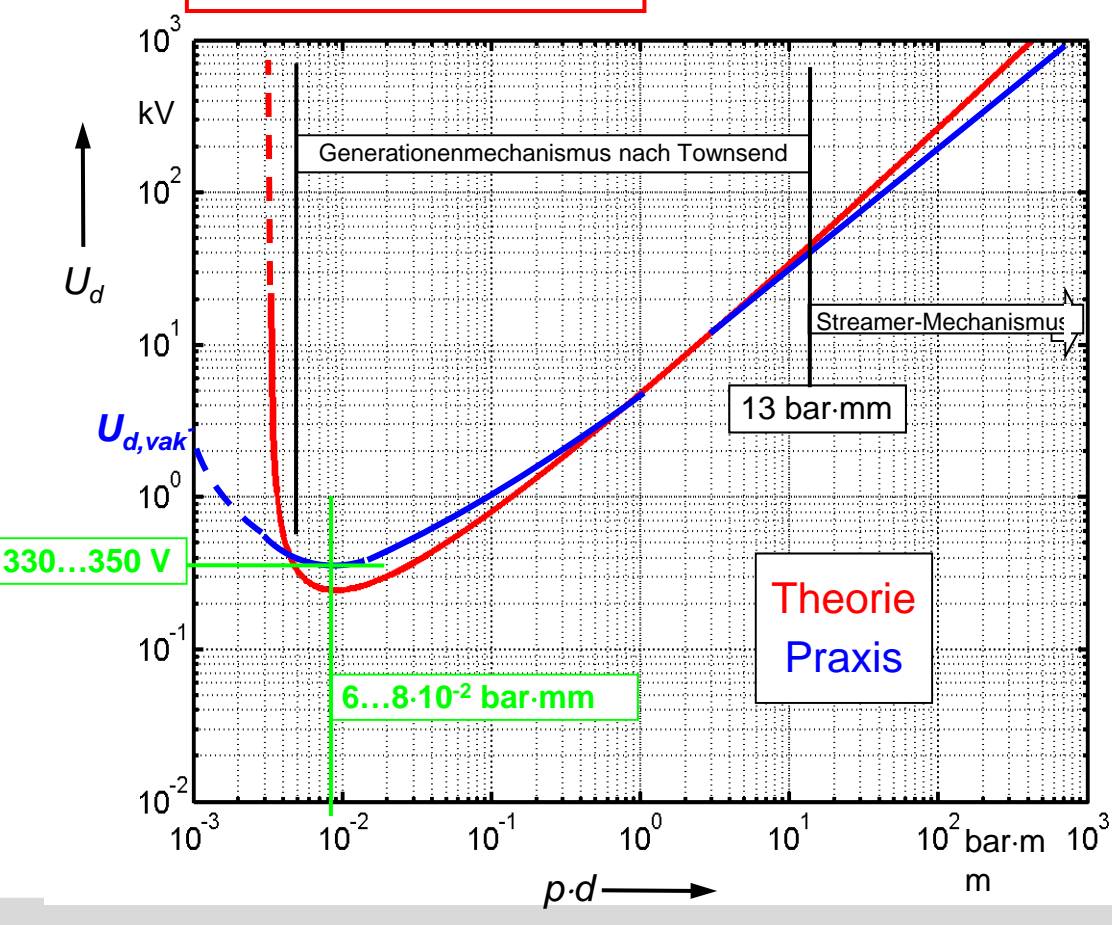
#### Praxis:

Vakuumdurchschlag bei niedrigem Druck

 $\Rightarrow$  endliche Durchschlagspannung  $oldsymbol{U_{d,vak}}$ 

Niedrigste Durchschlagspannung  $U_d = 330...350 \text{ V}$ bei  $p \cdot d = 6...8 \cdot 10^{-2} \text{ bar} \cdot \text{mm}$ 

Bereich großer Werte für *p·d*:
Oberflächenrauhigkeit der Elektroden
(Grate, Kratzer, etc.) verringert
die Spannungsfestigkeit
(lokal überhöhte Feldstärke)



### **Entladungsmechanismen: Streamer-Mechanismus**



#### Problem der Theorie nach Townsend:

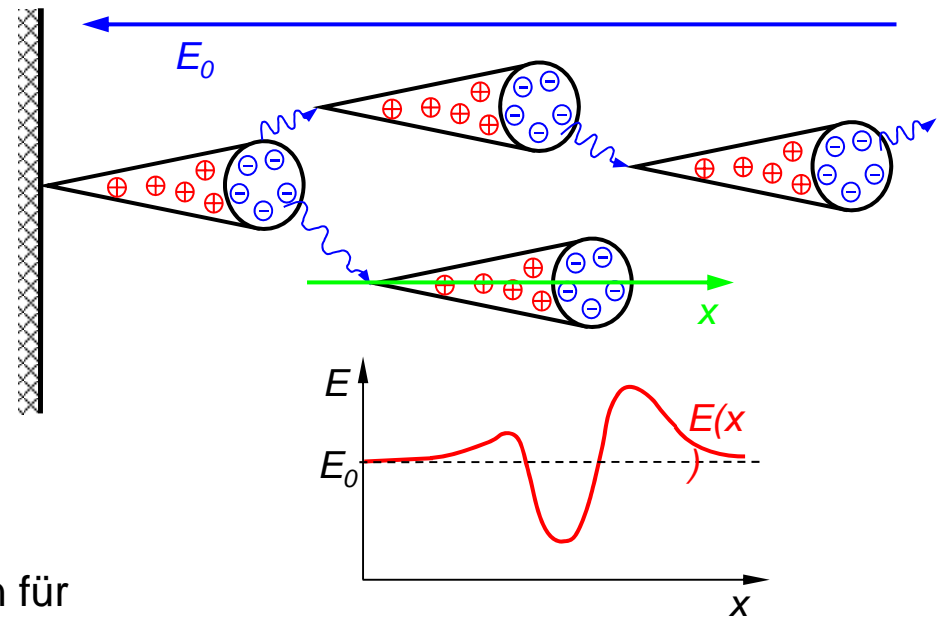
- der schnelle Durchschlag bei großen Werten für  $(p \cdot d)$  ist nicht erklärbar
- Bei einer Elektronenzahl > 106...108 nimmt das Feld der Lawine Einfluß auf das Gesamtfeld

positive Ionen sind schwerer und damit langsamer als Elektronen

- ⇒ positiv geladener Lawinenschweif
- ⇒ negativ geladener Lawinenkopf

#### Streamer-Mechanismus:

- Starke Feldüberhöhung am Kopf der Lawine
- Erhöhung der Zahl der Stoßionisationen
- UV-Emission
- Photoionisation, dadurch Anfangselektronen für Sekundärlawinen



Zusammenwirken aller Elektronenlawinen: leitfähiger Kanal ⇒ Kanalentladung, Streamerentl.

### Bedingungen für Streamer-Mechanismus



• Zahl der Elektronen muß den kritischen Wert  $N_{krit}$  überschreiten

$$N_{krit} = 10^6...10^8$$

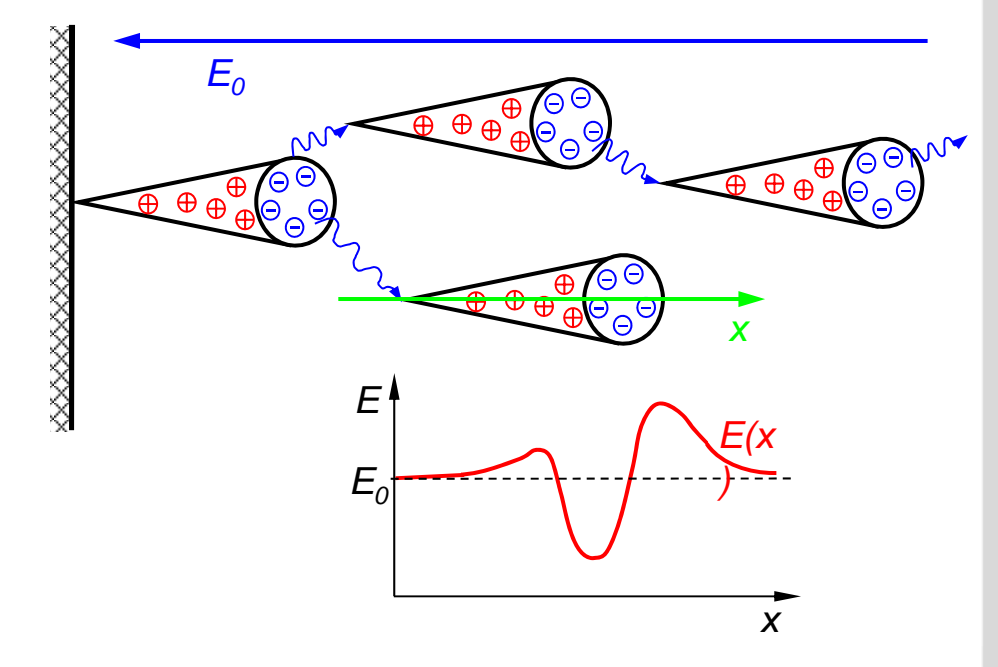
• Effektiver Stoßionisationskoeffizient muß sein  $\alpha_{\text{eff}} > 0$ 

Stoßionisationskoeffizient  $\alpha$  beschreibt die Entstehung von Elektronen bei Stoßprozessen

Ein Teil der Elektronen lagert sich an Moleküle an

 $\Rightarrow$  Anlagerungskoeffizient  $\eta$ 

$$\alpha_{eff} = \alpha - \eta$$



Grenzbedingung, unterhalb der kein Durchschlag mehr auftreten kann:

$$\left(\frac{E}{\rho}\right)_{\text{Luf}t} = 24,4 \frac{\text{kV}}{\text{bar} \cdot \text{cm}}$$
  $\left(\frac{E}{\rho}\right)_{\text{SF}_6} = 87,7 \frac{\text{kV}}{\text{bar} \cdot \text{cm}}$ 

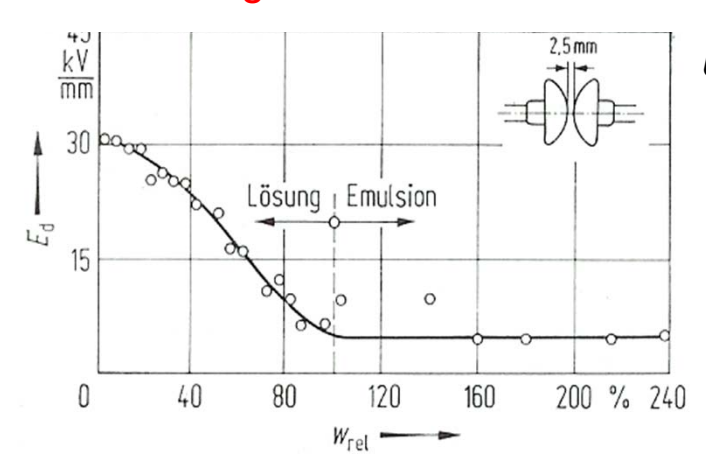
## Elektrische Festigkeit von flüssigen Isolierstoffen: Mineralöl



<u>Durchschlagmechanismen:</u> keine geschlossene Theorie wie beim Gasdurchschlag jedoch 2 wichtige Mechanismen, die den Durchschlag beeinflussen

- Faserbrückendurchschlag
- Wassergehalt

## Einfluss des Wassergehaltes auf den Durchschlag



 $U_d = E_d \cdot 2,5$ mm

Hochspannungstechnisch von Bedeutung:

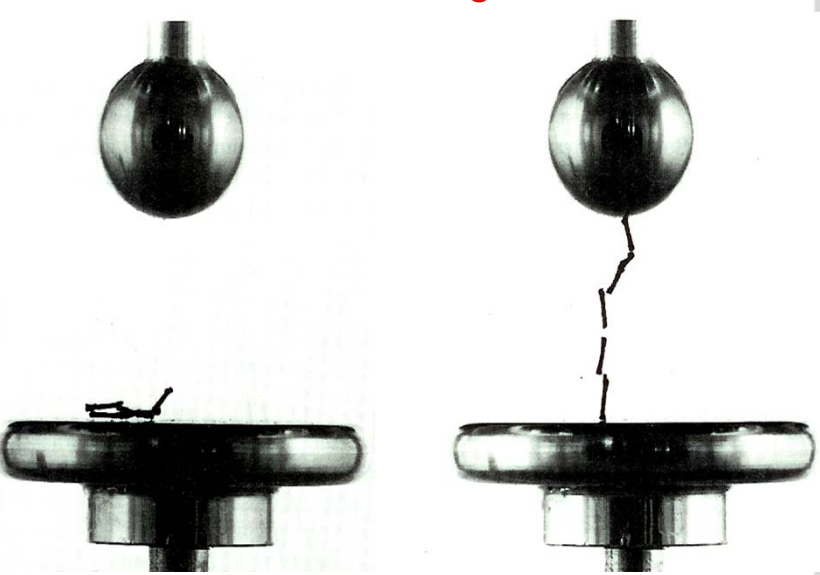
Bereich der Lösung

$$W_{rel} = \frac{W_{9m}}{W_{sat}}$$

mit

$$W_{sat} = f(\theta_m) \approx 10^{-\frac{1567}{273 + \theta_m} + 7,0895}$$
 ppm

#### Faserbrückendurchschlag



Mineralöl wird oft in Verbindung mit Papier (Zellulose) eingesetzt (Transformatoren)

⇒ im Öl befinden sich Zellulosefasern und Schmutzpartikel

# Elektrische Festigkeit von festen Isolierstoffen: rein elektrischer Durchschlag



#### 3 Durchschlagmechanismen:

- der rein elektrische Durchschlag
- der Wärmedurchschlag
- TE-Durchschlag infolge Alterung und Materialerosion

Rein elektrischer Durchschlag

Bändermodell der Festkörperphysik:

im Leitungsband eines Isolators befinden sich nahezu keine Elektronen

starkes elektrisches Feld

- ⇒ Auslösen von Elektronen aus dem Elektrodenmaterial
- ⇒ Verzerrung der Bänder, dadurch quantenmech.
   Tunneln möglich, Elektronen gelangen ins Leitungsband

# Elektrische Festigkeit von festen Isolierstoffen: Wärmedurchschlag



Wärmedurchschlag

Tritt auf, wenn die zugeführte Wärmeleistung  $P_{zu}$  dauerhaft größer ist, als die abgeführte Wärmeleistung  $P_{ab}$   $P_{zu} > P_{ab}$ 

zugeführte Wärmeleistung  $P_{zu}$ 

= dielektrische Verlustleistung  $P_{diel}$   $P_{zu} = P_{diel} + P_{s}$ 

+ zugeführte Stromwärmeleistung  $P_s$ 

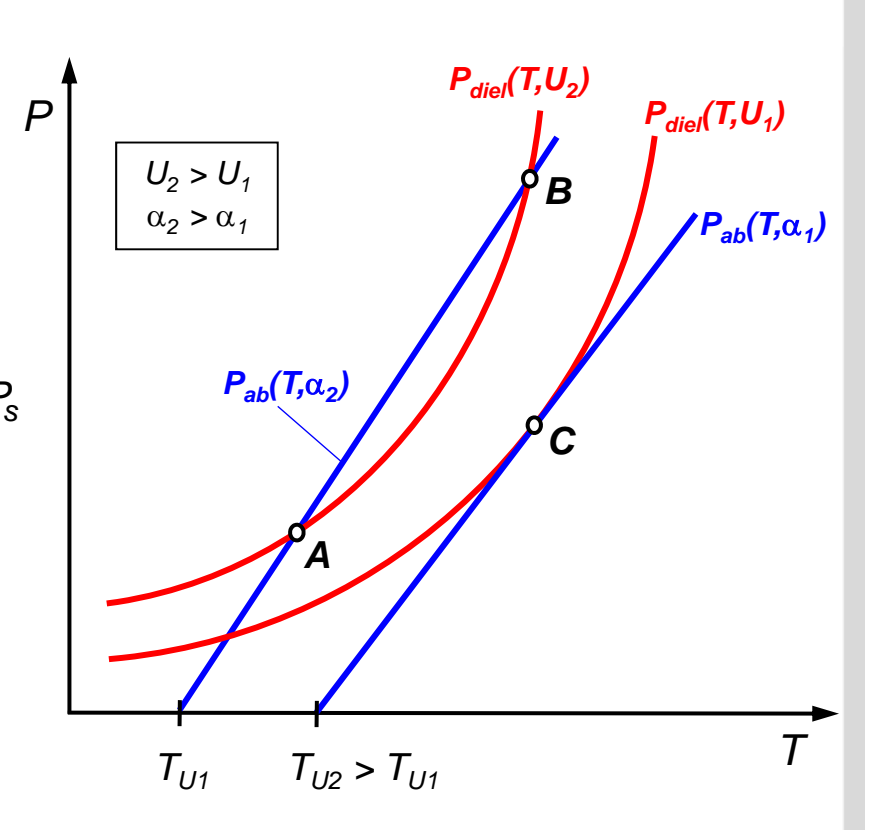
$$P_{diel} = \begin{cases} U^2 \cdot G = const. \cdot U^2 \cdot \kappa & \text{ für Gleichspannung} \\ U^2 \cdot \omega C \cdot \tan \delta & \text{ für Wechselspannung} \end{cases}$$

Temperaturabhängigkeit der Leitfähigkeit  $\kappa$  und des Verlustfaktors tan  $\delta$ 

$$\kappa$$
,  $\tan \delta \sim e^{A(T-T_0)}$  mit  $A > 0$ 

Isolierstoff gibt Wärme über die Kontaktfläche ab A: Kontaktfläche a: Wärmeübergangskoeffizient

$$P_{ab} = \alpha \cdot A \cdot (T - T_U)$$



Das System ist dann thermisch stabil, wenn die abgeführte Wärmeleistung mit der Temperaturänderung stärker ansteigt, als die zugeführte

Wärmeleistung (Arbeitspunkt A) 
$$\frac{\partial P_{ab}(T)}{\partial T} \ge \frac{\partial P_{zu}(T)}{\partial T}$$

### **Elektrische Teilentladungen (TE)**

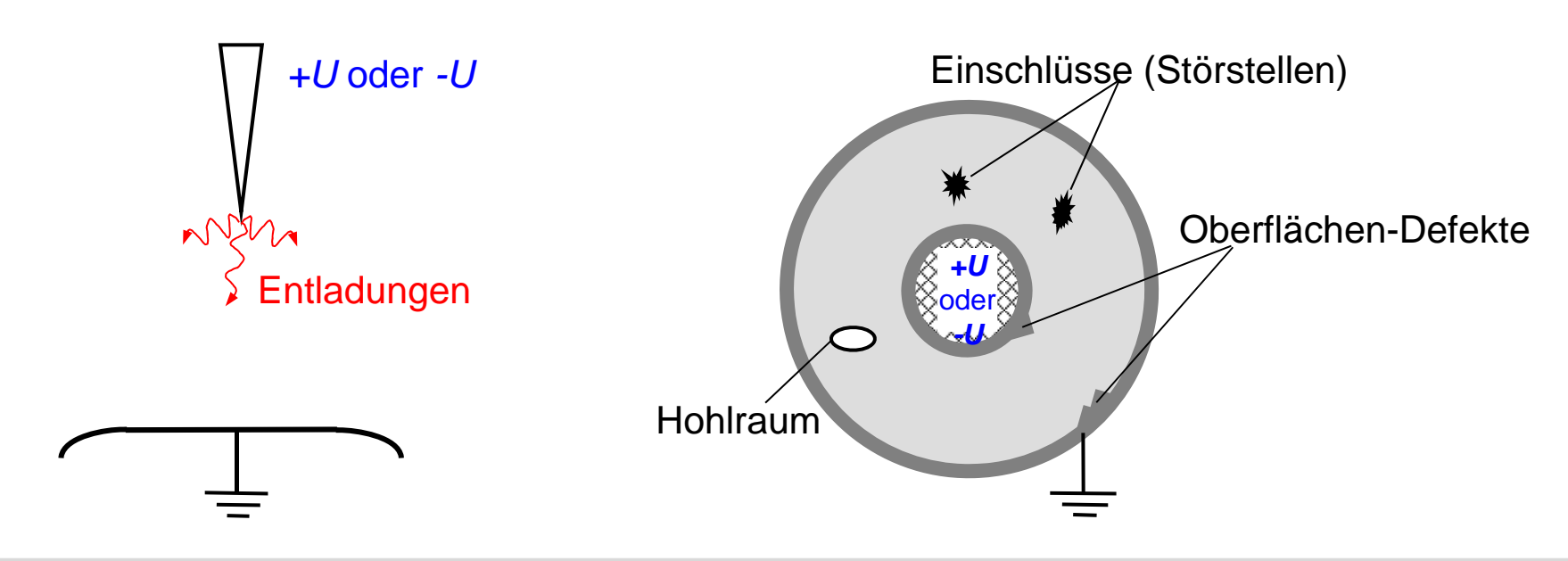


#### Physikalisches Phänomen "Teilentladung"

Lokale Überbeanspruchung des Isolierstoffes durch das elektrische Feld

⇒ Schnell ablaufende elektrische Entladungen

- Grund: stark inhomogene Felder, so daß das umgebende Isoliermaterial überbeansprucht wird
  - Bereiche mit homogenem Feld, jedoch starken Inhomogenitäten im Dielektrikum (Fehlstellen) und damit partiell reduzierter elektrischer Festigkeit

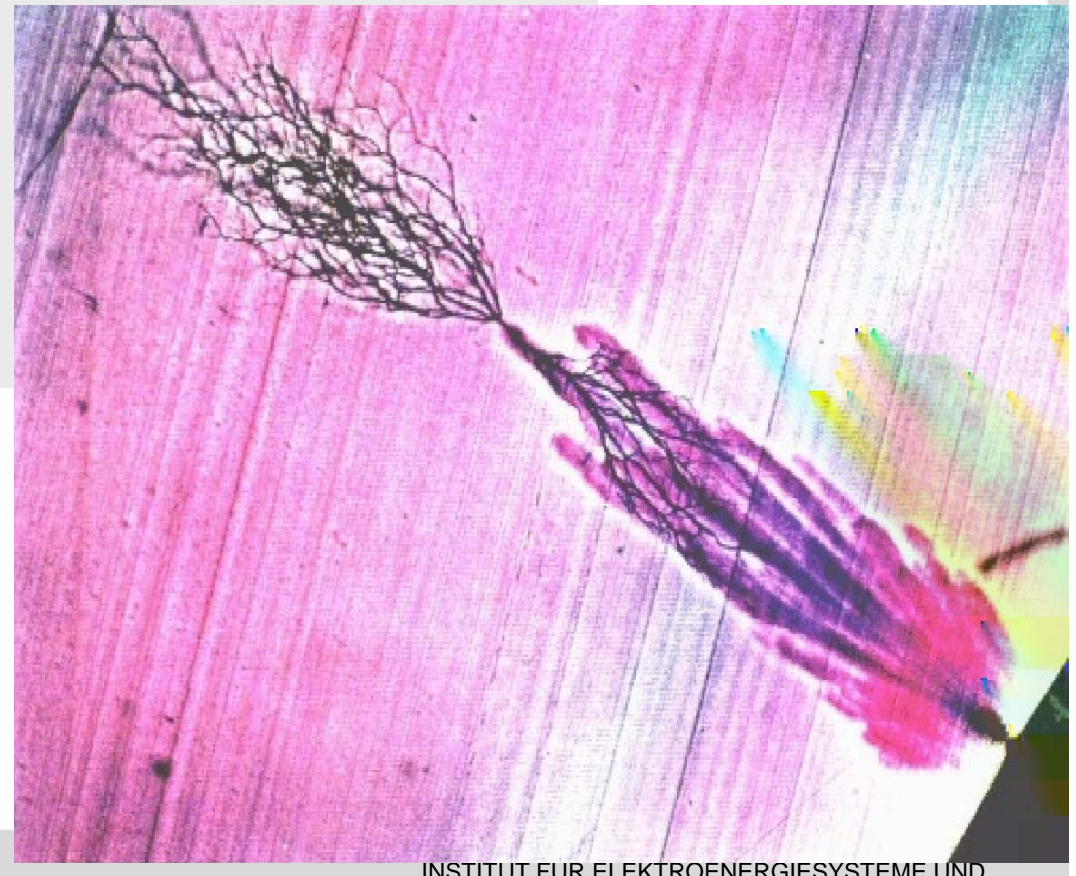


### **Elektrische Teilentladungen (TE)**



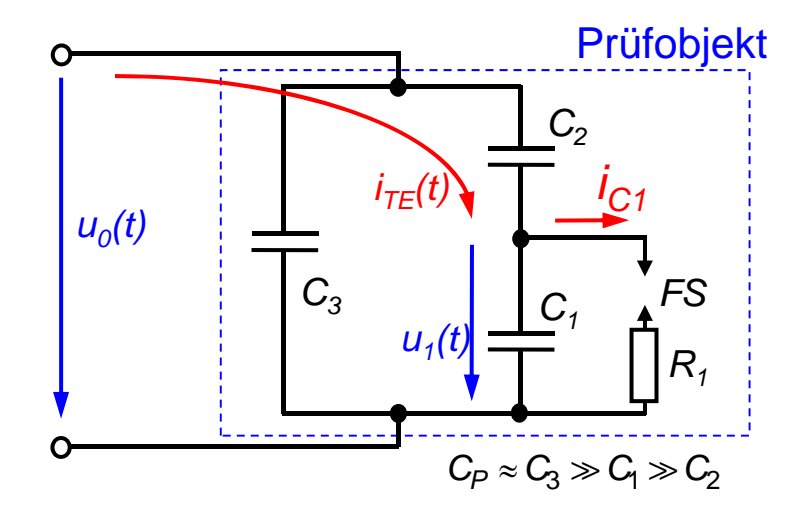
- TE in festen Isolierstoffen
   Materialerosion, TE schreitet immer weiter voran
   ⇒ TE in festen Isolierstoffen führt unweigerlich zum Durchschlag
- TE in flüssigen Isolierstoffen tritt oft in Form von Gasblasen auf

TE in flüssigen Isolierstoffen kann verlöschen, d. h. flüssige Isolierstoffe sind (bis zu einem gewissen Grad) selbstheilend



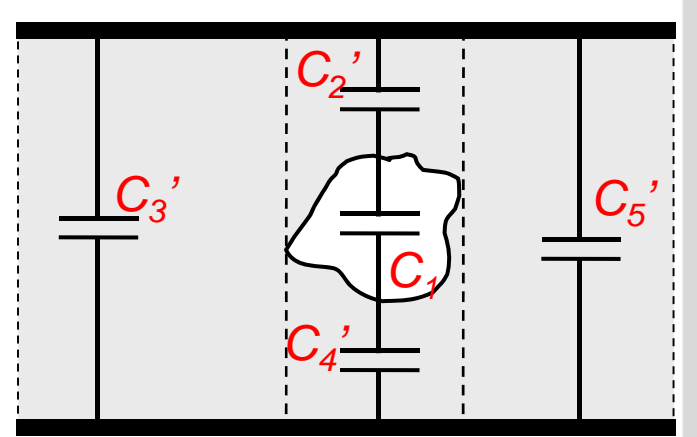
## **Ersatzschaltung eines Dielektrikums mit TE**

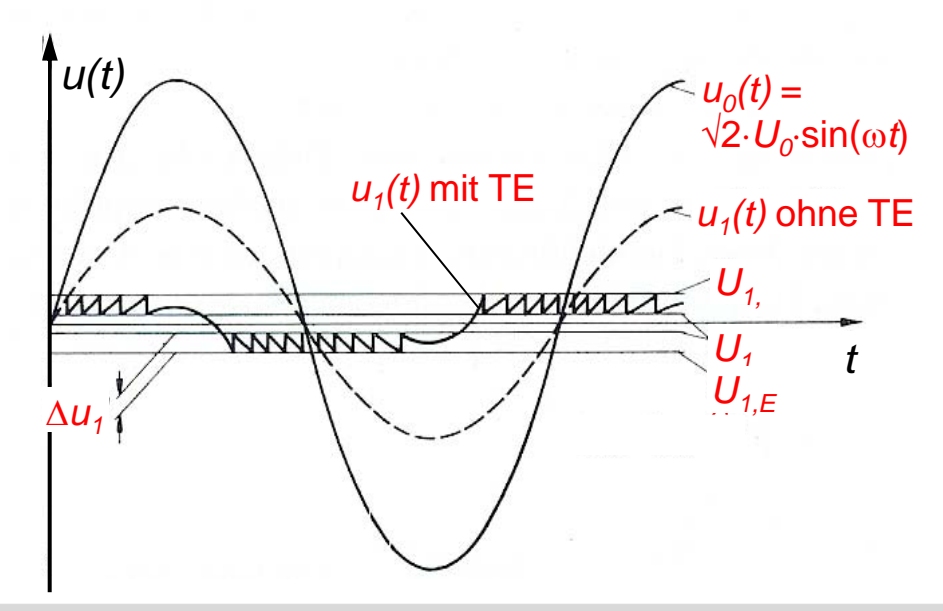




$$C_{ges} \approx C_3 \gg C_1 \gg C_2$$

$$q_{TE} = C_1 \cdot \Delta u_1$$
$$= \int_0^\infty i_{TE}(t) dt$$





- 1. Druckwelle, Materialerosion
- 2. Sichtbare Strahlung und UV-Strahlung
- 3. Chemische Zersetzung durch TE in Gasen
- 4. Chemische Zersetzung und dadurch Spaltprodukte bei TE in Flüssigkeiten
- 5. Elektromagnetische Strahlung und leitungsgebundene elektrische TE-Impulse